

可付向閉3-多様体の基本群の変換

堀口 俊二 (新潟産大・経済)

Contents

- §1. Heegaard diagram とその細分 $G(m,l)$
- §2. $G(m,l)$ の labels 表示 $HG(m,l)$ の変換
- §3. $HG(m,l)$ からの基本群の表示
- §4. 基本群の変換 (主定理)
- §5. 応用

§1. Heegaard diagram とその細分 $G(m,l)$

以下断りのない限り、閉3-多様体 M^3 は連結可付向閉3-多様体を表す。

disjoint な 2つの2-球面 S_1^2, S_2^2 上の 3-regular graph を $G_1 = (V_1, E_1)$ ($G_1 \subset S_1^2$), $G_2 = (V_2, E_2)$ ($G_2 \subset S_2^2$) とする。ここで、 V_1 (resp. V_2) は G_1 (resp. G_2) の vertices, E_1 (resp. E_2) は G_1 (resp. G_2) の edges の集合である。 $S_1^2 - |G_1|$ (resp. $S_2^2 - |G_2|$) の connected components の closure の集合を F_1 (resp. F_2) とする。

$S_1^2 \cup S_2^2$ 上の graph を $G = G_1 \cup G_2$ とし、 $K_1 = V_1 \cup E_1 \cup F_1$, $K_2 = V_2 \cup E_2 \cup F_2$ とする。

$K = K_1 \cup K_2$ が次の条件を満たすとする：

- (1) $\{D_i^+, D_i^-\}$ ($\subset F_1$) (resp. $\{D_j'^+, D_j'^-\}$ ($\subset F_2$)) ($i, j = 1, \dots, n$) は同じ label D_i (resp. D_j') が付いた向きが反対の 2-disks である。 $\{f_i'\}$ ($\subset F_1$), $\{f_i''\}$ ($\subset F_2$) ($i = 1, \dots, \alpha^2$) は同じ label f_i が付いた向きが反対の 2-disks か punctured 2-disk (穴あき 2-disk) である。
- (2) 各 $\{\partial D_i^+, \partial D_i^-\}$ (resp. $\{\partial D_j'^+, \partial D_j'^-\}$) ($i, j = 1, \dots, n$) は 2 つの circles であるが、これらは反対の向きを持ち、同じ label m_i (resp. l_j) で表わされている。 $\partial D_i^+ = m_i$ と $\partial D_i^- = m_i$ には同じ labels の付いた V_1 の vertices $\{i_1, i_2, \dots, i_k\}$ があり、 $\partial D_i^+ = m_i$ と $\partial D_i^- = m_i$ は同じ labels のついた E の edges $\{i_1(m_i)i_2, i_2(m_i)i_3, \dots, i_k(m_i)i_1\}$ により、 $m_i = i_1(m_i)i_2(m_i)i_3 \dots i_k(m_i)i_1$ と分割される。ここで各 edge $i_j(m_i)i_{j+1}$ は $\partial D_i^+ = m_i$ にある時は、 $\partial D_i^+ = m_i$ と同じ向きを持ち、 $\partial D_i^- = m_i$ にある時は、 $\partial D_i^- = m_i$ と同じ向きを持つ。そして $i_j(m_i)i_{j+1}$ の逆向きの

(56)

edge は $(i_j(m_1)i_{j+1})^{-1} = i_{j+1}(m_1^{-1})i_j$ と表される。

同様に $\partial D_j^+ = \partial D_j^- = l_j$ は $l_j = j_1(l_j)j_2 \cdots j_1(l_j)j_1$ と分割される。ただし、

$\cup_{j=1}^n \{j_1, j_2, \dots, j_1\} = \cup_{i=1}^n \{i_1, i_2, \dots, i_k\}$ である。

(3) $G_1 = \{\partial D_1^+ = m_1 = i_1(m_1)i_2(m_1)i_3 \cdots i_k(m_1)i_1, \partial D_1^- = m_1 = i_1(m_1)i_2(m_1)i_3 \cdots i_k(m_1)i_1,$
 $\{j_1(l_j)j_2, \dots, j_1(l_j)j_1\}\} (i, j = 1, \dots, n)$

$G_2 = \{\partial D_j^+ = l_j = j_1(l_j)j_2 \cdots j_1(l_j)j_1, \partial D_j^- = l_j = j_1(l_j)j_2 \cdots j_1(l_j)j_1,$
 $\{i_1(m_1)i_2, \dots, i_k(m_1)i_1\}\} (i, j = 1, \dots, n)$

である。

(4) 同じ label の 2 つの面の貼合わせと、それらの boundaries 上の同じ label の vertices および edges どうしの貼合わせは、vertices および edges の labels および各 edge の向きも含めて、面の貼合わせと compatible である。

定義 1. (1) から (4) の条件を満たす planar 3-regular graphs G_1, G_2 をそれぞれ genus n の Heegaard diagram の細分または cut diagram といい、 $G(m, l), G(l, m)$ と記述される。 $G(m, l) \cup G(l, m)$ は Heegaard diagrams の細分の対と呼ばれる。

2 つの disjoint な 3-balls を B_1^3, B_2^3 とし、 $\partial B_1^3 = S_1^2, \partial B_2^3 = S_2^2$ とする。 S_1^2, S_2^2 上の genus n の Heegaard diagrams の細分をそれぞれ $G(m, l), G(l, m)$ とする。 $K_1 = V_1 \cup E_1 \cup F_1$ の 2-disks D_1^+ と $D_1^- (i=1, \dots, n)$ を貼り合わせると、genus n の handlebody H_1 になる。 D_1^+ と D_1^- は同一視されて H_1 の proper disk になる。これを D_1 で表す。同様に B_2^3 から genus n の handlebody H_2 が構成される。そして $\{D_j'\} (j=1, \dots, n)$ は H_2 の proper disks となる。つぎに ∂H_1 の f_1' と ∂H_2 上の f_1'' を貼り合わせると連結可付向閉 3-多様体 M^3 が得られる。 ∂H_1 の f_1' と ∂H_2 上の f_1'' を同一視する同相写像を $f: \partial H_1 \rightarrow \partial H_2$ とする。

定義 2. 4 つの組 $(M^3; H_1, H_2, f)$ を f に関する Heegaard splitting と呼ぶ。逆に連結可付向閉 3-多様体 M^3 は、 M^3 に含まれる 2 つの genus $n (\geq 0)$ の handlebodies H_1, H_2 の和 ; $M^3 = H_1 \cup H_2$, $H_1 \cap H_2 = \partial H_1 \cap \partial H_2 = F$ (genus n の閉曲面) と表わされる。 $(U, V; F)$ を M^3 の genus n の Heegaard splitting といい、 F を Heegaard surface と呼ぶ。

定義 3. $(H_1, H_2; F)$ (resp. $(M^3; H_1, H_2, f)$) を M^3 の genus n Heegaard splitting とする。 H_1, H_2 の meridian-disk 系をそれぞれ $\{D_1, \dots, D_n\}, \{D_1', \dots, D_n'\}$ とする。 $(H_1; \partial D_1')$,

$\dots, \partial D_n')$ (resp. $(H_1; f^{-1}(\partial D_1'), \dots, f^{-1}(\partial D_n'))$) あるいは $(H_2; \partial D_1, \dots, \partial D_n)$ (resp. $(H_2; f(\partial D_1), \dots, f(\partial D_n))$) を Heegaard splitting $(H_1, H_2; F)$ (resp. $(M^3; H_1, H_2, f)$) の genus n Heegaard diagram とよぶ。また $\{\partial D_1', \dots, \partial D_n'\}$ (resp. $\{f^{-1}(\partial D_1'), \dots, f^{-1}(\partial D_n')\}$) を longitude 系と呼ぶ。

$(M^3; H_1, H_2, f)$ において、 $f^{-1}(H_2)$ を再び H_2 におきかえて、 f^{-1} を恒等写像とみなせるから、Heegaard diagram $(H_1; f^{-1}(\partial D_1'), \dots, f^{-1}(\partial D_n'))$ の $\{f^{-1}(\partial D_1'), \dots, f^{-1}(\partial D_n')\}$ は H_2 の meridian 系と考えてよい。

Heegaard diagram $(H_1; \partial D_1', \dots, \partial D_n')$ が与えられたとき、 H_1 の meridian disks $\{D_1, \dots, D_n\}$ で H_1 を切ることにより、 $G(m, l)$ が得られる。

..

定義4. genus n Heegaard diagram $(H_1; \partial D_1', \dots, \partial D_n')$ において、

$\{D_1 \cup \dots \cup D_n\} \cap \{D_1' \cup \dots \cup D_n'\} = \{\partial D_1 \cup \dots \cup \partial D_n\} \cap \{\partial D_1' \cup \dots \cup \partial D_n'\}$ は、points であるが、この points の数を Heegaard diagram の交点数とよぶ。

定義5. $G(m, l)$ の edges $\{j_1(l_j)j_2, \dots, j_1(l_j)j_1\}$ ($j=1, \dots, n (\geq 2)$) の中から $n-1$ 個の edges を選んできて、 H_1 の meridian disks $\{D_1, \dots, D_n\}$ が連結となるとき、Heegaard diagram $(H_1; l_1, \dots, l_n)$ は $\{D_1, \dots, D_n\}$ に関して連結であるという。また 連結とするように選べないとき、 $(H_1; l_1, \dots, l_n)$ は $\{D_1, \dots, D_n\}$ に関して非連結であるという。genus 1 の Heegaard diagram を持つ連結可付向閉3-多様体 M^3 は S^3 , Lens space $L(p, q)$, $S^2 \times S^1$ であるが、このうち S^3 と $L(p, q)$ の Heegaard diagram は連結と定義する。 $S^2 \times S^1$ の Heegaard diagram は非連結と定義する。

定義6. $G(m, l)$ (または $G(l, m)$) は定義1の表示とする。 $\{f_i', f_i''\}$ ($i=1, \dots, \alpha^2$) は 2-disks となるとき、 $G(m, l)$ は $\{D_1, \dots, D_n\}$ に関して連結という。連結にならないとき、 $\{D_1, \dots, D_n\}$ に関して非連結という。

$G(m, l)$ が連結ならば Heegaard diagram $(H_1; l_1, \dots, l_n)$ は連結である。しかしこの逆が成り立たない例が存在する[6]。Heegaard genus = 1 のときには $(H_1; l_1)$ が連結ということと、 $G(m, l)$ が連結ということとは同義である。-

$G(m, l)$ は連結とし定義1の表示とする。 $\partial f_1'$ ($f_1' \subset F_1$) は circle である。この circle を正の向きに回るとき、この circle 上の edges の labels を $i_j(m_1)i_{j+1}$ or $(i_j(m_1)i_{j+1})^{-1}$, $j_1(l_j)j_{1+1}$ or $(j_1(l_j)j_{1+1})^{-1}$ と続けて読んだ語(word)を r_1 とする。

(58)

読み始める最初の edge の label は任意に選ばれる。

$$\text{定義 7. } HG(m, l) = \{r_k, i_1(m_1)i_2(m_1)i_3 \cdots i_k(m_1)i_1, j_1(l_j)j_2 \cdots j_1(l_j)j_1\} \\ (k=1, \dots, \alpha^2, i, j=1, \dots, n)$$

を連結な細分 $G(m, l)$ の vertices, edges の labels による表示と呼ぶ。

$G(m, l)$ が非連結なとき, S^2 上の一つの面は punctured 2-disk である。この punctured 2-disk に付けられた label を f_u とすると, ∂f_u は数個の circles となる。各 circle を正の向きに読んだ語を r_1', \dots, r_s' とする。 ∂f_u から得られる語を $\cup_{j=i}^s (r_j')$ とまとめて表す。

$$\text{定義 8. } HG(m, l) = \{r_1, \cup_{j=i}^s (r_j'), i_1(m_1)i_2(m_1)i_3 \cdots i_k(m_1)i_1, j_1(l_j)j_2 \cdots j_1(l_j)j_1\} \quad (i=1, \dots, \alpha^2-s, i, j=1, \dots, n)$$

を非連結な細分 $G(m, l)$ の vertices, edges の labels による表示と呼ぶ。

$G(l, m)$ の各 $\partial f_i''$ を負の向きに回ることにより, 同じ labels による表示が得られるから, 表示 $HG(m, l)$ は well-defined である。 $G(m, l)$ の連結性と $HG(m, l)$ の連結性とは同義である。

例 1. S^3 の連結な genus 2 の $HG(m, l)$

$$HG = \left\{ \begin{array}{lll} 1l_2^{-1}3m_1^{-1}2l_17m_1 & (1) & 2m_1^{-1}1l_26m_17l_1^{-1}2 \\ 1m_1^{-1}7l_15m_16l_2^{-1}1 & (3) & 7m_1^{-1}6l_24m_15l_1^{-1}7 \\ 2m_13l_2^{-1}12m_2^{-1}11l_12 & (5) & 5l_19m_210l_2^{-1}8m_2^{-1}12l_23m_14l_2^{-1}6m_1^{-1}5 \\ 5m_1^{-1}4l_28m_29l_1^{-1}5 & (7) & 10m_211l_1^{-1}9m_2^{-1}8l_210 \\ 9l_111m_212l_2^{-1}10m_2^{-1}9 & (9) & 3m_14l_28m_2^{-1}12l_2^{-1}10m_211l_12m_1^{-1}1l_2^{-1}3 \\ 1m_12m_13m_14m_15m_16m_17m_1 & (11) & 8m_29m_210m_211m_212m_28 \\ 9l_111l_12l_17l_15l_19 & (13) & 10l_212l_23l_211l_26l_24l_28l_210 \end{array} \right. \begin{array}{l} (2) \\ (4) \\ (6) \\ (8) \\ (10) \\ (12) \\ (14) \end{array}$$

$HG(m, l)$ には, 一つの edge の label が向きを除いて三つあり, 一つの vertex の label は六つある。

例2. $L(7,2)\#L(7,4)$ の非連結な genus 2 の $HG(m,l)$

$$HG(m,l) = \left\{ \begin{array}{lll} 1m_12l_1^{-1}7m_1^{-1}6l_11 & (1) & 2m_13l_1^{-1}1m_1^{-1}7l_12 \\ 3m_14l_1^{-1}2m_1^{-1}1l_13 & (3) & 4m_15l_1^{-1}3m_1^{-1}2l_14 \\ 5m_16l_1^{-1}4m_1^{-1}3l_15 & (5) & 6m_17l_1^{-1}5m_1^{-1}4l_16 \\ 12m_213l_2^{-1}9m_2^{-1}8l_212 & (7) & 13m_214l_2^{-1}10m_2^{-1}9l_213 \\ 14m_28l_2^{-1}11m_2^{-1}10l_214 & (9) & 8m_29l_2^{-1}12m_2^{-1}11l_28 \\ 9m_210l_2^{-1}13m_2^{-1}12l_29 & (11) & 10m_211l_2^{-1}14m_2^{-1}13l_210 \\ (1m_1^{-1}7l_1^{-1}5m_16l_11) \cup (12m_2^{-1}11l_2^{-1}14m_28l_212) & (13) & \\ 1m_12m_13m_14m_15m_16m_17m_11 & (14) & \\ 8m_29m_210m_211m_212m_213m_214m_28 & (15) & \\ 6l_11l_13l_15l_17l_12l_14l_16 & (16) & \\ 8l_212l_29l_213l_210l_214l_211l_28 & (17) & \end{array} \right\}$$

$HG(m,l)$ が与えられると、これから $G(m,l)$ (または $G(l,m)$) を次のようにして描くことができる。ただし、 $HG(m,l)$ は S^3 の genus 1 の場合を除き連結とする。

$G(m,l)$ の描き方

STEP 1 $HG(m,l)$ のある r_i を選んでこれを描く。

STEP 2 r_i に含まれる $i_j(m_i)i_{j+1}$ or $(i_j(m_i)i_{j+1})^{-1}$ を持つ meridians m_i を全て描く。

STEP 3 $r_j \cap r_i = \{edge(s)\}$ ($j \neq i$) となる r_j を描く。

STEP 4 r_j に含まれる $j_1(m_j)j_{1+1}$ or $(j_1(m_j)j_{1+1})^{-1}$ を持つ meridians m_j が存在すれば、これを全て描く。

STEP 5 以下 step 1 から step 4 までを繰り返し、 $HG(m,l)$ の異なる全ての r_i, m_i を描く。

練習問題 例1の $HG(m,l)$ から $G(m,l)$ を描け。

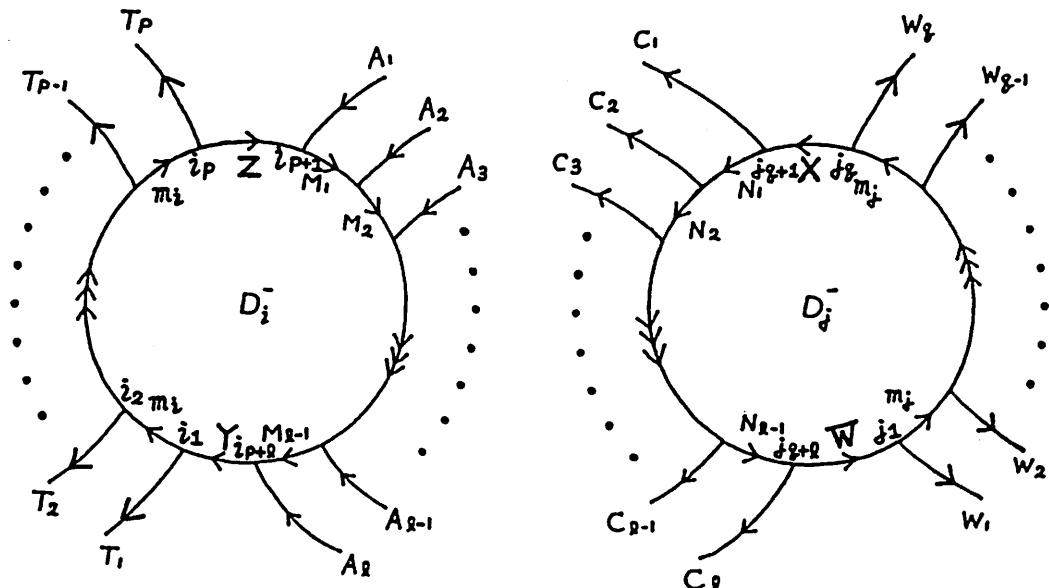
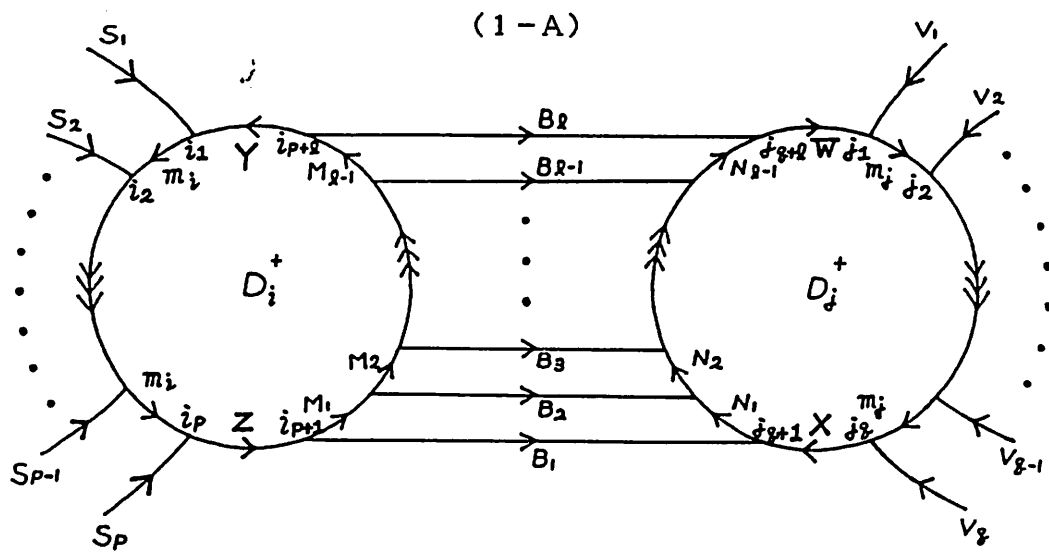
非連結な $G(m,l)$ も $HG(m,l)$ から上記 step 1～step 5 と同様な方法で描くことができる。

練習問題 例2の $HG(m,l)$ から $G(m,l)$ を描け。

非連結な $G(m,l)$ が与えられたとき、初等DS-変形を使ってこれを連結な $G(m,l)$ に変換できる。

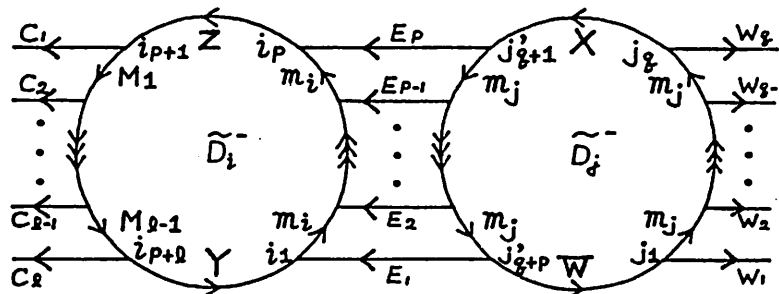
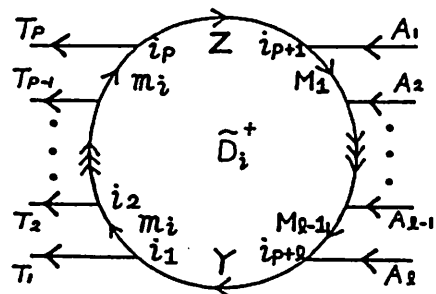
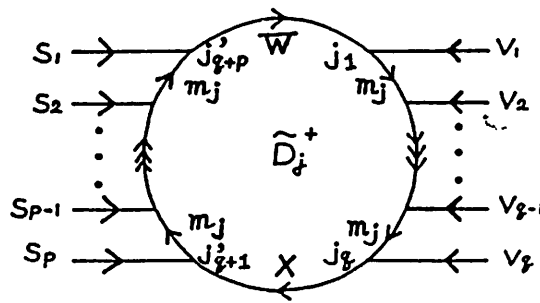
§ 2. $G(m, 1)$ の labels 表示 $HG(m, 1)$ の変換

[5]において $G(m, 1)$ の移り変わり(変換)を与えたが、これらの変換に対応する $G(m, 1)$ の labels 表示 $HG(m, 1)$ の変換の algorithms を与える。ただし、 $G(m, 1)$ は連結とする。

1. (1) Heegaard diagrams の変換 (1-A) \Leftrightarrow (1-B1)(次図)に対応する labels の変換

(61)

(1-B1)



(1-A) の部分を持つ Heegaard diagram の labels 表示を HG_1 とする. (1-B1) の部分を持つ Heegaard diagram の labels 表示を HG_1' とする.

(62)

W 1	$\cdots(V_q)j_q(X)j_{q+1}(B_1^{-1})i_{p+1}(Z^{-1})i_p(S_p^{-1})\cdots$	(1)
	$j_{q+1}(N_1)j_{q+2}(B_2^{-1})i_{p+2}(M_1^{-1})i_{p+1}(B_1)j_{q+1}\cdots$	(2)
	⋮	
	$j_{q+1-1}(N_{1-1})j_{q+1}(B_1^{-1})i_{p+1}(M_{1-1}^{-1})i_{p+1-1}(B_{1-1})j_{q+1-1}\cdots$	(1)
$\cdots(S_1)i_1(Y^{-1})i_{p+1}(B_1)j_{q+1}(W)j_1(V_1^{-1})\cdots$		(1+1)
	$\cdots(S_2)i_2(m_1^{-1})i_1(S_1^{-1})\cdots$	(1+2)
	⋮	
	$\cdots(S_p)i_p(m_1^{-1})i_{p-1}(S_{p-1}^{-1})\cdots$	(1+p)
W 2	$\cdots(T_p^{-1})i_p(Z)i_{p+1}(A_1^{-1})\cdots$	(1)
	$\cdots(A_1)i_{p+1}(Y)i_1(T_1)\cdots$	(2)
W 3	$\cdots(C_1^{-1})j_{q+1}(X^{-1})j_q(W_q)\cdots$	(1)
	$\cdots(C_2^{-1})j_{q+2}(N_1^{-1})j_{q+1}(C_1)\cdots$	(2)
	⋮	
	$\cdots(C_1^{-1})j_{q+1}(N_{1-1}^{-1})j_{q+1-1}(C_{1-1})\cdots$	(1)
$\cdots(W_1^{-1})j_1(W^{-1})j_{q+1}(C_1)\cdots$		(1+1)
HG1 =	W 4 r_k (W1~W3 以外の words)	
M	$i_1(m_1)i_2 \cdots i_p(Z)i_{p+1}(M_1)i_{p+2} \cdots i_{p+1-1}(M_{1-1})i_{p+1}(Y)i_1$	(1)
	$j_1(m_j)j_2 \cdots j_q(X)j_{q+1}(N_1)j_{q+2} \cdots j_{q+1-1}(N_{1-1})j_{q+1}(W)j_1$	(2)
	$k_1(m_k)k_2 \cdots k_u(m_k)k_1$ ($k \neq i, j$)	(3)
L 1	$ _{r_1} = \cdots(A_1)i_{p+1}(B_1)j_{q+1}(C_1)\cdots$	(1)
	⋮	
L 2	$ _{r_1} = \cdots(A_1)i_{p+1}(B_1)j_{q+1}(C_1)\cdots$	(1)
	⋮	
L 3	$ _{r_1} = \cdots(V_1)j_1(W_1)\cdots$	(1)
	⋮	
L 4	$ _{r_1} = u_1(l_u)u_2 \cdots u_v(l_u)u_1$ (L1~L3 以外の longitudes)	(p)

W 1 '	$\cdots (V_q) j_q (X) j_{q+1}' (S_p^{-1}) \cdots$	(1)
	$\cdots (S_1) j_{q+p}' (W) j_1 (V_1^{-1}) \cdots$	(1+1)
	$\cdots (S_2) j_{q+p-1}' (M_j) j_{q+p}' (S_1^{-1}) \cdots$	(1+2)
	\vdots	
	$\cdots (S_p) j_{q+1}' (M_j) j_{q+2}' (S_{p-1}^{-1}) \cdots$	(1+p)
W 2	$\cdots (T_p^{-1}) i_p (Z) i_{p+1} (A_1^{-1}) \cdots$	(1)
	$\cdots (A_1) i_{p+1} (Y) i_1 (T_1) \cdots$	(2)
W 3 '	$\cdots (C_1^{-1}) i_{p+1} (Z^{-1}) i_p (E_p^{-1}) j_{q+1}' (X^{-1}) j_q (W_q) \cdots$	(1)
	$\cdots (C_2^{-1}) i_{p+2} (M_1^{-1}) i_{p+1} (C_1) \cdots$	(2)
	\vdots	
	$\cdots (C_{l-1}^{-1}) i_{p+1} (M_{l-1}^{-1}) i_{p+1-l} (C_{l-1}) \cdots$	(1)
	$j_{q+1}' (E_p) i_p (M_l^{-1}) i_{p-1} (E_{p-1}^{-1}) j_{q+2}' (M_j^{-1}) j_{q+1},$	(1+2)
	\vdots	
	$j_{q+p-1}' (E_2) i_2 (M_1^{-1}) i_1 (E_1^{-1}) j_{q+p}' (M_j^{-1}) j_{q+p-1},$	(1+p)
	$\cdots (W_1^{-1}) j_1 (W^{-1}) j_{q+p}' (E_1) i_1 (Y^{-1}) i_{p+1} (C_1) \cdots$	(1+1)
	$r_k (W1', W2, W3' \text{ 以外の words})$	
HG1' =	M' $i_1 (m_1) i_2 \cdot \cdots \cdot i_p (Z) i_{p+1} (M_1) i_{p+2} \cdot \cdots \cdot i_{p+1-l} (M_{l-1}) i_{p+1} (Y) i_1$	(1)
	$j_1 (m_j) j_2 \cdot \cdots \cdot j_q (X) j_{q+1}' (M_j) j_{q+2}' \cdot \cdots \cdot j_{q+p-1}' (M_j) j_{q+p}' (W) j_1$	(2)
	$k_1 (m_k) k_2 \cdot \cdots \cdot k_u (m_k) k_1 \quad (k \neq i, j)$	(3)
L 1'	$ _{r_1}' = \cdots (A_1) i_{p+1} (C_1) \cdots$	(1)
	\vdots	
L 1'	$ _{r_1}' = \cdots (A_1) i_{p+1} (C_1) \cdots$	(1)
	\vdots	
L 2	$ _{s_1} = \cdots (V_1) j_1 (W_1) \cdots$	(1)
	\vdots	
L 2	$ _{s_q} = \cdots (V_q) j_q (W_q) \cdots$	(q)
	\vdots	
L 3'	$ _{t_1} = \cdots (S_1) j_{q+p}' (E_1) i_1 (T_1) \cdots$	(1)
	\vdots	
L 3'	$ _{t_p} = \cdots (S_p) j_{q+1}' (E_p) i_p (T_p) \cdots$	(p)
	\vdots	
L 4	$ _u = u_1 (l_u) u_2 \cdot \cdots \cdot u_v (l_u) u_1 \quad (L1', L2, L3' \text{ 以外の longitudes})$	

(64)

定理1. $HG1 \Leftrightarrow HG1'$ の labels の変換の algorithms が存在する。

証明 $HG1 \Rightarrow HG1'$ の algorithms を与える。

$HG1$ に $W1$ の(2)から(1)のような部分があれば, $HG1$ に以下の操作を行う。

STEP 1 M の(2)の $j_{q+1}(N_1)j_{q+2} \cdots j_{q+p-1}(N_{p-1})j_{q+p}$ を新しい labels の列

$j_{q+1}'(m_j)j_{q+2}' \cdots j_{q+p-1}'(m_j)j_{q+p}'$ に置き換える。

この操作を次のように表す。

M (2) $j_{q+1}(N_1)j_{q+2} \cdots j_{q+p-1}(N_{p-1})j_{q+p} \rightarrow j_{q+1}'(m_j)j_{q+2}' \cdots j_{q+p-1}'(m_j)j_{q+p}'$
この操作により, $HG1'$ の $W1'$ の(2)を得る。

STEP 2 $W1$ の(1)の中の文字列 $j_{q+1}(B_1^{-1})i_{p+1}(Z^{-1})$ を消去して前後の文字列を連結する。この操作を $W1$ (1) (-) $j_{q+1}(B_1^{-1})i_{p+1}(Z^{-1})$ と表す。

この結果 $\cdots(V_q)j_q(X)i_p(S_p^{-1})\cdots$ ができる。次にこの文字列に対して、

$i_p \rightarrow j_{q+1}'$ を行うと $HG1'$ の $W1'$ の(1)の $\cdots(V_q)j_q(X)j_{q+1}'(S_p^{-1})\cdots$ を得る。

同様に(1)に対して (1) (-) $(Y^{-1})i_{p+1}(B_1)j_{q+1}$ と $i_1 \rightarrow j_{q+p}'$ を行うと

$HG1'$ の $W1'$ の(1+1)の $\cdots(S_1)j_{q+p}'(W)j_1(Y_1^{-1})\cdots$ を得る。

次に

$$\left\{ \begin{array}{l} (2) \quad (-)((2) \text{を消去}) \\ (3) \quad (-) \\ \vdots \\ (1) \quad (-) \\ \\ (1+2) \quad i_2(m_1^{-1})i_1 \rightarrow j_{q+p-1}'(m_j)j_{q+p}' \\ (1+3) \quad i_3(m_1^{-1})i_2 \rightarrow j_{q+p-2}'(m_j)j_{q+p-1}' \\ \vdots \\ (1+p) \quad i_p(m_1^{-1})i_{p-1} \rightarrow j_{q+1}'(m_j)j_{q+2}' \end{array} \right.$$

を行うと, $HG1'$ の $W1'$ の(1+2)～(1+p)を得る。

STEP 3 L3' $\left\{ \begin{array}{l} (1) \quad (S_1)i_1(T_1) \rightarrow (S_1)\underline{j_{q+p}}'(E_1)i_1(T_1)(S_1) \text{ と } i_1 \text{ の間に} \\ \qquad \qquad \qquad \qquad \qquad \qquad j_{q+p}'(E_1) \text{ を挿入} \\ (2) \quad (S_2)i_2(T_2) \rightarrow (S_2)\underline{j_{q+p-1}}'(E_2)i_2(T_2) \\ \vdots \\ (p) \quad (S_p)i_p(T_p) \rightarrow (S_p)\underline{j_{q+1}}'(E_p)i_p(T_p) \end{array} \right.$

を行うと, $HG1'$ の $L3'$ を得る。

STEP 4 L1 (1) (-) $(B_1)_{\dot{j}_{q+1}}$

⋮

(1) (-) $(B_1)_{\dot{j}_{q+1}}$

を行うと, HG1' の L1' を得る.

STEP 5 W3 (2) $j_{q+2}(N_1^{-1})j_{q+1} \rightarrow i_{p+2}(M_1^{-1})i_{p+1}$

(3) $j_{q+3}(N_2^{-1})j_{q+2} \rightarrow i_{p+3}(M_2^{-1})i_{p+2}$

⋮

⋮

(1) $j_{q+1}(N_{1-1}^{-1})j_{q+1-1} \rightarrow i_{p+1}(M_{1-1}^{-1})i_{p+1-1}$

を行うと, HG1' の W3' の(2)~(1)を得る.

STEP 6 W3

$\left\{ \begin{array}{l} (+) (1) j_{q+1}'(E_p)i_p(m_1^{-1})i_{p-1}(E_{p-1}^{-1})j_{q+2}'(m_j^{-1})j_{q+1}', \\ (+) (2) j_{q+2}'(E_{p-1})i_{p-1}(m_1^{-1})i_{p-2}(E_{p-2}^{-1})j_{q+3}'(m_j^{-1})j_{q+2}', \\ \vdots \\ (+) (p-1) j_{q+p-1}'(E_2)i_2(m_1^{-1})i_1(E_1^{-1})j_{q+p}'(m_j^{-1})j_{q+p-1}', \\ (1) j_{q+1} \rightarrow i_{p+1}(Z^{-1})i_p(E_p^{-1})j_{q+1}, \\ (1+1) j_{q+1} \rightarrow j_{q+p}'(E_1)i_1(Y^{-1})i_{p+1} \end{array} \right. \quad \text{(文字列追加)}$

を行うと, HG1' の W3' の(1+2)~(1+p)および(1),(1+1)を得る.

以上の操作で $HG1 \Rightarrow HG1'$ が得られた.

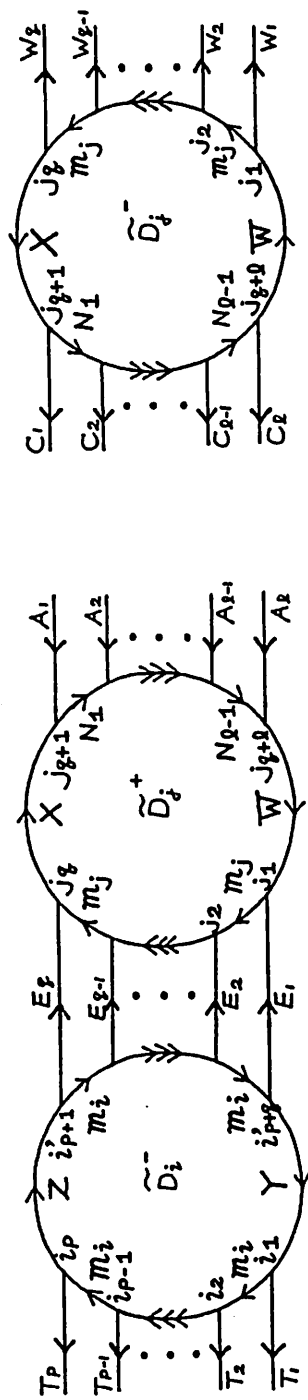
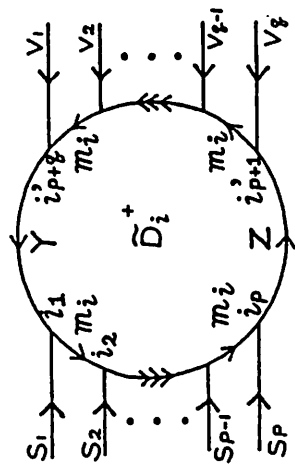
逆変換 $HG1' \Rightarrow HG1$ の algorithms も 上記 step 1 から step 6 までの過程と全く同様にして得られる. □

定義8. step 1 から step 6 のように次々に labels を換えていく操作を labels の連鎖反応と呼ぶ.

(2) (1-A) \Leftrightarrow (1-B2) の変換も存在するが, この labels の変換の algorithms も(1)の場合と同様に構成できる.

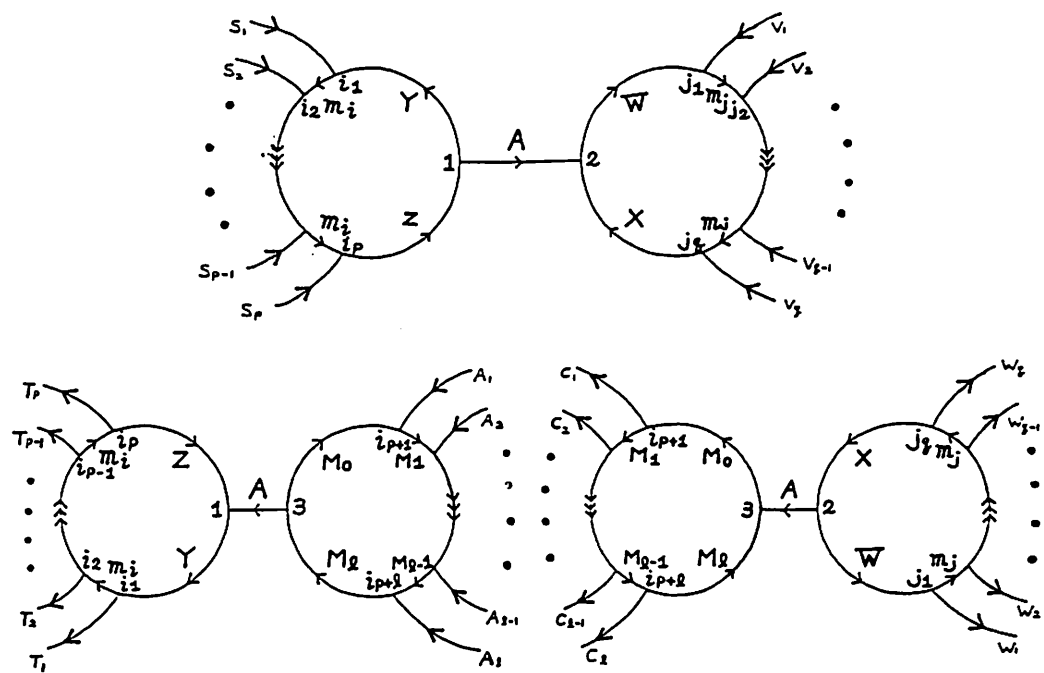
(66)

(1 - B 2)



(3) Heegaard diagrams の変換 $(1-A) \Leftrightarrow (1-B3)$ (次図)に対応する labels の変換

(1 - B3)



(1-B3) の部分を持つ Heegaard diagram の labels 表示を $HG1''$ とする。

(68)

W1'' W2'' W3'' W4	$\cdots(V_q)j_q(X)2(A^{-1})1(Z^{-1})i_p(S_p^{-1})\cdots$ $\cdots(S_1)i_1(Y^{-1})1(A)2(W)j_1(V_1^{-1})\cdots$ $\cdots(S_2)i_2(m_1^{-1})i_1(S_1^{-1})\cdots$ \vdots $\cdots(S_p)i_p(m_1^{-1})i_{p-1}(S_{p-1}^{-1})\cdots$	(1) (I+1) (I+2) (1+p)
	$\cdots(T_p^{-1})i_p(Z)1(A^{-1})3(M_0)i_{p+1}(A_1^{-1})\cdots$ $\cdots(A_1)i_{p+1}(M_1)3(A)1(Y)i_1(T_1)\cdots$	(1) (2)
	$\cdots(C_1^{-1})i_{p+1}(M_0^{-1})3(A^{-1})2(X^{-1})j_q(W_q)\cdots$ $\cdots(C_2^{-1})i_{p+2}(M_1^{-1})i_{p+1}(C_1)\cdots$ \vdots $\cdots(C_1^{-1})i_{p+1}(M_{1-1}^{-1})i_{p+1-1}(C_{1-1})\cdots$ $\cdots(W_1^{-1})j_1(W^{-1})2(A)3(M_1^{-1})i_{p+1}(C_1)\cdots$	(1) (2) (1) (I+1)
	r_k ($W1'' \sim W3''$ 以外の words)	
HG1'' =	M'' $i_1(m_1)i_2 \cdot \cdots \cdot i_p(Z)1(Y)i_1$ $j_1(m_3)j_2 \cdot \cdots \cdot j_q(X)2(W)j_1$ $k_1(m_k)k_2 \cdot \cdots \cdot k_u(m_k)k_1$ ($k \neq i, j$) $3(M_0)i_{p+1}(M_1)i_{p+2} \cdot \cdots \cdot i_{p+1-1}(M_{1-1})i_{p+1}(M_1)3$	(1) (2) (3) (4)
	L1'' $ _{r_1''} = \cdots(A_1)i_{p+1}(C_1)\cdots$ \vdots L1'' $ _{r_1''} = \cdots(A_1)i_{p+1}(C_1)\cdots$	(1) (1)
	L2 $ _{s_1} = \cdots(V_1)j_1(W_1)\cdots$ \vdots L2 $ _{s_q} = \cdots(V_q)j_q(W_q)\cdots$	(1) (q)
	L3 $ _{t_1} = \cdots(S_1)i_1(T_1)\cdots$ \vdots L3 $ _{t_p} = \cdots(S_p)i_p(T_p)\cdots$	(1) (p)
	L4'' $ _u = u_1(_u)u_2 \cdot \cdots \cdot u_v(_u)u_1$ (L1'', L2, L3 以外の longitudes) $1(A)2(A)3(A)1$	

定理2. $HG1 \Leftrightarrow HG1''$ の labels の変換の algorithms が存在する.

証明 $HG1 \Rightarrow HG1''$ の algorithms を与える.

STEP 1 $HG1 \quad L4 \quad (+) \quad 1(A)2(A)3(A)1 \quad (L4 に新しい longitude を追加)$

STEP 2 $W1 \quad (-) \quad (2) \sim (1) \quad ((2) \sim (1) を消去)$

$$(1) \quad j_{q+1}(B_1^{-1})i_{p+1} \rightarrow 2(A^{-1})1$$

$$(1+1) \quad i_{p+1}(B_1)j_{q+1} \rightarrow 1(A)2$$

STEP 3 $M \quad (1) \quad (-) \quad i_{p+1}(M_1)i_{p+2} \cdots i_{p+1-1}(M_{1-1})i_{p+1}$

この結果 $i_1(m_1)i_2 \cdots i_p(Z)(Y)i_1$ ができる. 次に (Z) と (Y) の間に 1 を挿入すると, $HG1''$ の M'' の (1)を得る.

$$(2) \quad (-) \quad j_{q+1}(N_1)j_{q+2} \cdots j_{q+1-1}(N_{1-1})j_{q+1}$$

この結果 $j_1(m_1)j_2 \cdots j_q(X)(W)j_1$ ができる. 次の (X) と (W) の間に 2 を挿入すると, $HG1''$ の M'' の (2)を得る.

(1)で消去した $i_{p+1}(M_1)i_{p+2} \cdots i_{p+1-1}(M_{1-1})i_{p+1}$ を新しい文字列とする. この文字列の最後に新しい文字列 $(M_1)3(M_0)i_{p+1}$ を結合すると,

$HG1''$ の M'' の (4)を得る.

STEP 4 $L1 \quad (1) \quad (-) \quad (B_1)j_{q+1}$

⋮

(1) $(-) \quad (B_1)j_{q+1}$

STEP 5 $W2 \quad (1) \quad i_p(Z)i_{p+1}(A_1^{-1}) \rightarrow i_p(Z)\underline{1(A^{-1})3(M_0)}i_{p+1}(A_1^{-1}) \quad (\text{アンダーラインの部分を挿入})$

$$(2) \quad (A_1)i_{p+1}(Y) \rightarrow (A_1)\underline{i_{p+1}(M_1)3(A)1(Y)}$$

STEP 6 $W3 \quad (2) \quad j_{q+2}(N_1^{-1})j_{q+1} \rightarrow i_{p+2}(M_1^{-1})\dot{i_{p+1}}$

⋮

⋮

$$(1) \quad j_{q+1}(N_{1-1}^{-1})j_{q+1-1} \rightarrow i_{p+1}(M_{1-1}^{-1})i_{p+1-1}$$

(1)の j_{q+1} を i_{p+1} にかえる. 次に i_{p+1} と (X^{-1}) の間に

$(M_0^{-1})3(A^{-1})2$ を挿入すると, $HG1''$ の $W3''$ の (1)を得る.

(1+1)の j_{q+1} を i_{p+1} にかえる. 次に (W^{-1}) と i_{p+1} の間に $2(A)3(M_1^{-1})$ を挿入すると, $HG1''$ の $W3''$ の (1+1)を得る.

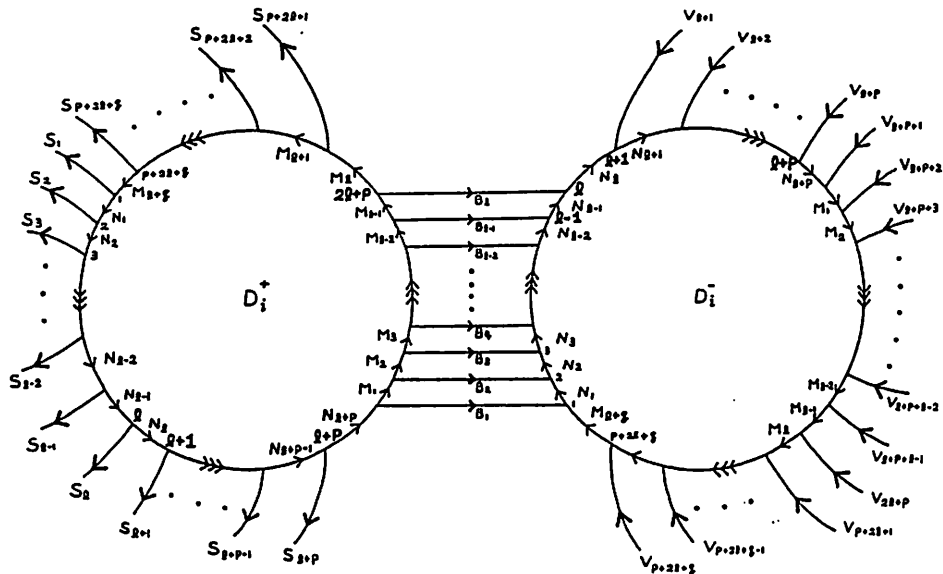
以上の操作で $HG1 \Rightarrow HG1''$ が得られた.

逆に $HG1'' \Rightarrow HG1$ の algorithms も labels の連鎖反応により構成することができる. □

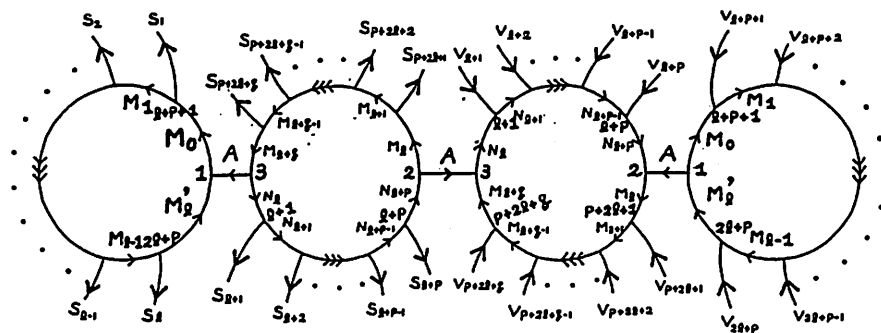
練習問題 $HG1'' \Rightarrow HG1$ の algorithms を構成せよ.

2. Heegaard diagrams の変換 (2-A) \Leftrightarrow (2-B)(次図)に対応する labels の変換

(2-A)



(2-B)



(2-A) の部分を持つ Heegaard diagram の labels 表示を HG2 とする。 (2-B) の部分を持つ Heegaard diagram の labels 表示を HG2' とする。

W 1	$\left\{ \begin{array}{l} \cdots(V_{21+p+q})2l+p+q(M_{1+q})1(B_1^{-1}) +p+1(N_{1+p}^{-1}) +p(S_{1+p})\dots \\ \quad 1(N_1)2(B_2^{-1}) +p+2(M_1^{-1}) +p+1(B_1)1 \\ \quad \vdots \\ \quad l-1(N_{1-1}) B_1^{-1})2l+p(M_{1-1}^{-1})2l+p-1(B_{1-1}) l-1 \\ \quad \cdots(S_{21+p+1}^{-1})2l+p+1(M_1^{-1})2l+p(B_1)1(N_1) +1(V_{1+1}^{-1})\dots \end{array} \right. \quad \begin{array}{l} (1) \\ (2) \\ \vdots \\ (1) \\ (1+1) \end{array}$
W 2	$\left\{ \begin{array}{l} \cdots(S_{21+p+2}^{-1})2l+p+2(M_{1+1}^{-1})2l+p+1(S_{21+p+1})\dots \\ \quad \vdots \\ \quad \cdots(S_{21+p+q-1}^{-1})2l+p+q(M_{1+q-1}^{-1})2l+p+q-1(S_{21+p+q-1})\dots \\ \quad \cdots(S_1^{-1})1(M_{1+q}^{-1})2l+p+q(S_{21+p+q})\dots \\ \quad \cdots(S_2^{-1})2(N_1^{-1})1(S_1)\dots \\ \quad \vdots \\ \quad \cdots(S_1^{-1}) N_{1-1}^{-1}) l-1(S_{1-1})\dots \\ \quad \cdots(S_{1+1}^{-1}) +1(N_1^{-1}) S_1)\dots \\ \quad \cdots(S_{1+2}^{-1}) +2(N_{1+1}^{-1}) +1(S_{1+1})\dots \\ \quad \vdots \\ \quad \cdots(S_{1+p}^{-1}) +p(N_{1+p-1}^{-1}) +p-1(S_{1+p-1})\dots \end{array} \right. \quad \begin{array}{l} (1) \\ (q-1) \\ (q) \\ (q+1) \\ (q+1-1) \\ (q+1) \\ (q+1+1) \\ (q+1+p-1) \end{array}$
W 3	$\left\{ \begin{array}{l} \cdots(V_{1+1}) +1(N_{1+1}) +2(V_{1+2}^{-1})\dots \\ \quad \vdots \\ \quad \cdots(V_{1+p-1}) +p-1(N_{1+p-1}) +p(V_{1+p}^{-1})\dots \\ \quad \cdots(V_{1+p}) +p(N_{1+p}) +p+1(V_{1+p+1}^{-1})\dots \\ \quad \cdots(V_{1+p+1}) +p+1(M_1) +p+2(V_{1+p+2}^{-1})\dots \\ \quad \vdots \\ \quad \cdots(V_{21+p-1})2l+p-1(M_{1-1})2l+p(V_{21+p}^{-1})\dots \\ \quad \cdots(V_{21+p})2l+p(M_1)2l+p+1(V_{21+p+1}^{-1})\dots \\ \quad \cdots(V_{21+p+1})2l+p+1(M_{1+1})2l+p+2(V_{21+p+2}^{-1})\dots \\ \quad \vdots \\ \quad \cdots(V_{21+p+q-1})2l+p+q-1(M_{1+q-1})2l+p+q(V_{21+p+q}^{-1})\dots \end{array} \right. \quad \begin{array}{l} (1) \\ (p-1) \\ (p) \\ (p+1) \\ (p+1-1) \\ (p+1) \\ (p+1+1) \\ (p+1+q-1) \end{array}$
W 4	r_k (W1~W3 以外の words)
M	$\begin{aligned} & 1(N_1)2 \cdot \cdots \cdot l-1(N_{1-1}) N_1 +1(N_{1+1}) +2 \cdot \cdots \cdot +p-1(N_{1+p-1}) +p(N_{1+p}) \cdot \\ & +p+1(M_1) +p+2 \cdot \cdots \cdot 2l+p(M_1)2l+p+1(M_{1+1})2l+p+2 \cdot \cdots \cdot 2l+p+q(M_{1+q})1 \quad (1) \\ & k_1(m_k)k_2 \cdot \cdots \cdot k_u(m_k)k_1 \quad (k=1, \dots, n-1) \quad (2) \end{aligned}$
L 1	$\left\{ \begin{array}{l} l_{r_1} = \cdots(V_{1+1}) +1(S_{1+1})\dots \quad (1+1) \\ \vdots \\ l_{rp} = \cdots(V_{1+p}) +p(S_{1+p})\dots \quad (1+p) \end{array} \right\} \quad \left\{ \begin{array}{l} l_{rp+1} = \cdots(V_{1+p+1}) +p+1(B_1)1(S_1)\dots \quad (1) \\ \vdots \\ l_{rp+1+1} = \cdots(V_{21+p})2l+p(B_1)1(S_1)\dots \quad (1) \\ \vdots \\ l_{rp+1+q} = \cdots(V_{21+p+q})2l+p+q(S_{21+p+q})\dots \quad (1+p+q) \end{array} \right\}$
L 2	$l_u = u_1(l_u)u_2 \cdot \cdots \cdot u_v(l_u)u_1$ (L1 以外の longitudes)

(72)

	<p>W1'</p> $\cdots(V_{21+p+q})2l+p+q(M_{1+q})3(A^{-1})2(N_{1+p}^{-1})l+p(S_{1+p})\cdots \quad (1)$ $\cdots(S_{21+p+1}^{-1})2l+p+1(M_1^{-1})2(A)3(N_1)l+1(V_{1+1}^{-1})\cdots \quad (1+1)$
	<p>W2'</p> $\left\{ \begin{array}{l} \cdots(S_{21+p+2}^{-1})2l+p+2(M_{1+1}^{-1})2l+p+1(S_{21+p+1})\cdots \quad (1) \\ \vdots \\ \cdots(S_{21+p+q-1}^{-1})2l+p+q(M_{1+q-1}^{-1})2l+p+q-1(S_{21+p+q-1})\cdots \quad (q-1) \\ \cdots(S_1^{-1})l+p+1(M_0^{-1})1(A^{-1})3(M_{1+q}^{-1})2l+p+q(S_{21+p+q})\cdots \quad (q) \\ \cdots(S_2^{-1})l+p+2(M_1^{-1})l+p+1(S_1)\cdots \quad (q+1) \\ \vdots \\ \cdots(S_1^{-1})2l+p(M_{1-1}^{-1})2l+p-1(S_{1-1})\cdots \quad (q+1-1) \\ \cdots(S_{1+1}^{-1})l+1(N_1^{-1})3(A)1(M_1^{-1})2l+p(S_1)\cdots \quad (q+1) \\ \cdots(S_{1+2}^{-1})l+2(N_{1+1}^{-1})l+1(S_{1+1})\cdots \quad (q+1+1) \\ \vdots \\ \cdots(S_{1+p}^{-1})l+p(N_{1+p-1}^{-1})l+p-1(S_{1+p-1})\cdots \quad (q+1+p-1) \end{array} \right\}$
	<p>W3'</p> $\left\{ \begin{array}{l} \cdots(V_{1+1})l+1(N_{1+1})l+2(V_{1+2}^{-1})\cdots \quad (1) \\ \vdots \\ \cdots(V_{1+p-1})l+p-1(N_{1+p-1})l+p(V_{1+p}^{-1})\cdots \quad (p-1) \\ \cdots(V_{1+p})l+p(N_{1+p})2(A^{-1})1(M_0)l+p+1(V_{1+p+1}^{-1})\cdots \quad (p) \\ \cdots(V_{1+p+1})l+p+1(M_1)l+p+2(V_{1+p+2}^{-1})\cdots \quad (p+1) \\ \vdots \\ \cdots(V_{21+p-1})2l+p-1(M_{1-1})2l+p(V_{21+p}^{-1})\cdots \quad (p+1-1) \\ \cdots(V_{21+p})2l+p(M_1')1(A)2(M_1)2l+p+1(V_{21+p+1}^{-1})\cdots \quad (p+1) \\ \cdots(V_{21+p+1})2l+p+1(M_{1+1})2l+p+2(V_{21+p+2}^{-1})\cdots \quad (p+1+1) \\ \vdots \\ \cdots(V_{21+p+q-1})2l+p+q-1(M_{1+q-1})2l+p+q(V_{21+p+q}^{-1})\cdots \quad (p+1+q-1) \end{array} \right\}$
HG2' =	<p>W4</p> <p>r_k ($W1' \sim W3'$ 以外の words)</p>
M'	$3(N_1)l+1(N_{1+1})l+2 \cdots l+p-1(N_{1+p-1})l+p(N_{1+p}) \cdot$ $2(M_1)2l+p+1(M_{1+1})2l+p+2 \cdots 2l+p+q-1(M_{1+q-1})2l+p+q(M_{1+q})3 \quad (1')$ $l+p+1(M_1)l+p+2 \cdots 2l+p-1(M_{1-1})2l+p(M_1')1(M_0)l+p+1 \quad (1'')$ $k_1(m_k)k_2 \cdots k_u(m_k)k_1 \quad (k=1, \dots, n-1) \quad (2)$
L1'	$\left\{ \begin{array}{l} r_1 = \cdots(V_{1+1})l+1(S_{1+1})\cdots \quad (1+1) \\ \vdots \\ r_p = \cdots(V_{1+p})l+p(S_{1+p})\cdots \quad (1+p) \end{array} \right\} \quad \left\{ \begin{array}{l} r_{p+1}' = \cdots(V_{1+p+1})l+p+1(S_1)\cdots \quad (1) \\ \vdots \\ r_{p+1+i} = \cdots(V_{21+p+1})2l+p+1(S_{21+p+1})\cdots \quad (1+p+1) \\ \vdots \\ r_{p+1+q} = \cdots(V_{21+p+q})2l+p+q(S_{21+p+q})\cdots \quad (1+p+q) \end{array} \right\}$
L2'	$l_u = u_1(l_u)u_2 \cdots u_v(l_u)u_1 \quad (L1' 以外の longitudes)$ $1(A)2(A)3(A)1$

定理3. $HG2 \Leftrightarrow HG2'$ の labels の変換の algorithms が存在する。

証明 $HG2 \Rightarrow HG2'$ の algorithms を与える。

STEP 1 L2 (+) 1(A)2(A)3(A)1 (新しい longitude 追加)

STEP 2 W1 (1) $1(B_1^{-1})l+p+1 \rightarrow 3(A^{-1})2$

(1+1) $2l+p(B_1)l \rightarrow 2(A)3$

(2)~(1) (-) (文字列消去)

STEP 3 M (1)の文字列を

(a) $(M_1)2l+p+1(M_{1+1})2l+p+2 \cdots 2l+p+q(M_{1+q})1 \cdot$

$(N_1)2 \cdot \cdots \cdot l-1(N_{1-1})l(N_1)l+1 \cdot \cdots \cdot l+p-1(N_{1+p-1})l+p(N_{1+p})$

(b) $l+p+1(M_1)l+p+2 \cdots 2l+p-1(M_{1-1})2l+p$

に2分割する。

(a)の $1(N_1)2 \cdot \cdots \cdot l-1(N_{1-1})l$ を消去すると

$(M_1)2l+p+1(M_{1+1})2l+p+2 \cdots 2l+p+q(M_{1+q})1 \cdot$

$(N_1)l+1 \cdot \cdots \cdot l+p-1(N_{1+p-1})l+p(N_{1+p})$

を得る。ここで (N_{1+p}) の後に 2 をつけると、

$2(M_1)2l+p+1(M_{1+1})2l+p+2 \cdots 2l+p+q(M_{1+q})1 \cdot$

$(N_1)l+1 \cdot \cdots \cdot l+p-1(N_{1+p-1})l+p(N_{1+p})2$

を得る。さらに 1(アンダーライン) を 3 にかえると $HG2'$ の M' の(1')を得る。

(b) の $2l+p$ の後に $(M_1')l(M_0)l+p+1$ をつけ加えると $HG2'$ の M の(1'')を得る。

STEP 4 L1 (i) (-) $(B_i)i$ ($i=1, \dots, l$)

STEP 5 W3 (p) (N_{1+p}) と $l+p+1$ の間に $2(A^{-1})1(M_0)$ を挿入する。

(p+1) $2l+p$ と (M_1) の間に $(M_1')1(A)2$ を挿入する。

STEP 6 W2 $\left\{ \begin{array}{l} (q+1) \quad 2(N_1^{-1})1 \rightarrow l+p+2(M_1^{-1})l+p+1 \\ \vdots \\ (q+l-1) \quad l(N_1^{-1})l-1 \rightarrow 2l+p(M_{1-1}^{-1})2l+p-1 \\ (q) \quad 1 \rightarrow l+p+1(M_0^{-1})1(A^{-1})3 \\ (q+1) \quad 1 \rightarrow 3(A)1(M_1'^{-1})2l+p \end{array} \right.$

以上の操作で $HG1 \Rightarrow HG1''$ が得られた。

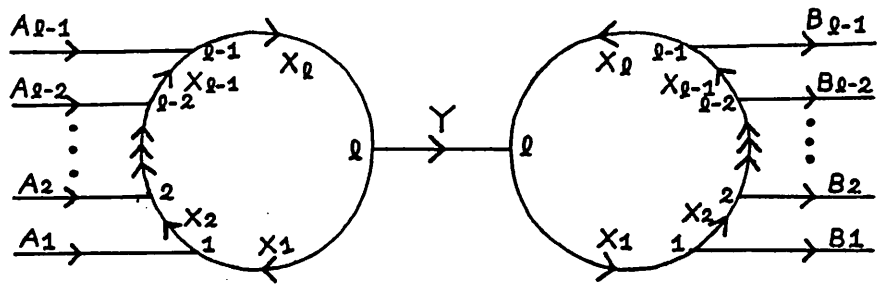
逆変換 $HG2' \Rightarrow HG2$ も labels の連鎖反応により構成される。 □

練習問題 $HG2' \Rightarrow HG2$ の algorithms を構成せよ。

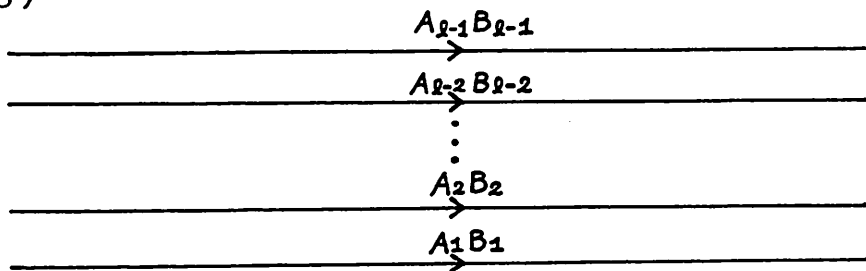
(74)

3. Heegaard diagrams の変換 (3-A) \Leftrightarrow (3-B)(次図)に対応する labels の変換

(3 - A)



(3 - B)



(3-A) の部分を持つ Heegaard diagram の labels 表示を HG3 とする. (3-B) の部分を持つ Heegaard diagram の labels 表示を HG3' とする.

HG3 =	W1	$\cdots(B_1^{-1})I(X_1^{-1})I(Y^{-1})I(X_1)I(A_1^{-1})\cdots$	(1)
		$\cdots(A_{1-1})I-1(X_1)I(Y)I(X_1^{-1})I-1(B_{1-1})\cdots$	(2)
		$\cdots(A_1)I(X_2)2(A_2^{-1})\cdots$	(3)
		⋮	
		$\cdots(A_{1-2})I-2(X_{1-1})I-1(A_{1-1}^{-1})\cdots$	(1)
		$\cdots(B_2^{-1})2(X_2^{-1})I(B_1)\cdots$	(1+1)
		$\cdots(B_{1-1}^{-1})I-1(X_{1-1}^{-1})I-2(B_{1-2})\cdots$	(21-2)
		⋮	
	W2	r_k (W1 以外の words)	
	M	$I(X_1)I(X_2)2 \cdot \cdots \cdot I-2(X_{1-1})I-1(X_1)I$	(1)
		$k_1(m_k)k_2 \cdot \cdots \cdot k_u(m_k)k_1$ ($k=1, \dots, n-1$)	(2)
	L	$\begin{cases} I_{r_1} = & \cdots(A_1)I(B_1)\cdots \\ & \vdots \\ I_{r_{1-1}} = & \cdots(A_{1-1})I-1(B_{1-1})\cdots \\ I(Y)I & \\ I_u = u_1(I_u)u_2 \cdot \cdots \cdot u_v(I_u)u_1 & (u=l+1, \dots, n) \end{cases}$	(1)

HG3' =	W1'	$\cdots(B_1^{-1}A_1^{-1})\cdots$	(1)
		$\cdots(A_{1-1}B_{1-1})\cdots$	(2)
		$\cdots(A_1B_1) \cdot \cdots \cdot (B_2^{-1}A_2^{-1})\cdots$	(3)
		⋮	
		$\cdots(A_{1-2}B_{1-2}) \cdot \cdots \cdot (B_{1-1}^{-1}A_{1-1}^{-1})\cdots$	(1)
		⋮	
	W2	r_k (W1' 以外の words)	
	M'	$k_1(m_k)k_2 \cdot \cdots \cdot k_u(m_k)k_1$ ($k=1, \dots, n-1$)	(2)
	L'	$\begin{cases} I_{r_1}' = & \cdots(A_1B_1)\cdots \\ & \vdots \\ I_{r_{1-1}}' = & \cdots(A_{1-1}B_{1-1})\cdots \\ I_u = u_1(I_u)u_2 \cdot \cdots \cdot u_v(I_u)u_1 & (u=l+1, \dots, n) \end{cases}$	(1)
		⋮	(1-1)

(76)

定理4. $HG3 \Leftrightarrow HG3'$ の labels の変換の algorithms が存在する.

証明 $HG3 \Rightarrow HG3'$ の algorithms を与える.

STEP 1 M (-) (1) (M の(1)を消去)

L (-) (1) (L の(1)を消去)

$$L(i) \cdots (A_1)_i(B_1) \cdots \rightarrow \cdots (A_1 B_1) \cdots \quad (i=1, \dots, l-1)$$

STEP 2 W1 (1) $\cdots (B_1^{-1})_1(X_1^{-1})_1(Y^{-1})_1(X_1)_1(A_1^{-1}) \cdots \rightarrow \cdots (B_1^{-1} A_1^{-1}) \cdots$

(2) $\cdots (A_{l-1})_{l-1}(X_1)_1(Y)_1(X_1^{-1})_{l-1}(B_{l-1}) \cdots \rightarrow \cdots (A_{l-1} B_{l-1}) \cdots$

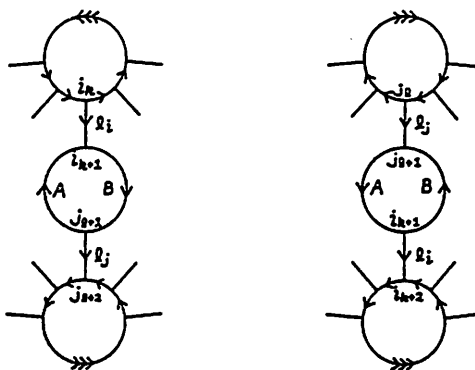
$$\left. \begin{array}{c} (3)+(l-1) \\ \vdots \\ (1)+(2l-2) \end{array} \right\} \cdots (A_1 B_1) \cdots (B_2^{-1} A_2^{-1}) \cdots \quad (3) \\ \left. \begin{array}{c} \vdots \\ \vdots \end{array} \right\} \cdots (A_{l-2} B_{l-2}) \cdots (B_{l-1}^{-1} A_{l-1}^{-1}) \cdots \quad (1)$$

以上の操作で $HG3 \Rightarrow HG3'$ が得られた.

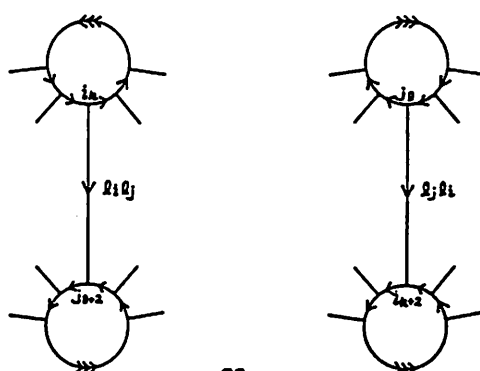
逆変換 $HG3' \Rightarrow HG3$ も labels の連鎖反応により構成される. \square

4. Heegaard diagrams の変換 (4-A) \Leftrightarrow (4-B)(次図)に対応する labels の変換

(4-A)



(4-B)



(4-A) の部分を持つ Heegaard diagram の labels 表示を HG4 とする. (4-B) の部分を持つ Heegaard diagram の labels 表示を HG4' とする.

HG4 =	<table border="1" style="width: 100%; border-collapse: collapse;"> <tr> <td style="padding: 5px;">W1</td><td style="padding: 5px;">$\cdots j_{1+2}(l_j^{-1})j_{1+1}(A)i_{k+1}(l_1^{-1})i_k \cdots$ (1) $\cdots i_k(l_1)j_{1+2} \cdots$ (2) $\cdots i_{k+2}(l_1^{-1})j_{1+1}(l_j)j_1 \cdots$ (3) $\cdots j_1(l_j)j_{1+2} \cdots$ (4)</td></tr> <tr> <td style="padding: 5px;">W2</td><td style="padding: 5px;">r_k (W1 以外の words)</td></tr> <tr> <td style="padding: 5px;">M</td><td style="padding: 5px;">$k_1(m_k)k_2 \cdot \cdots \cdot k_u(m_k)k_1$ ($k=1, \dots, n-1$)</td></tr> <tr> <td style="padding: 5px;">L</td><td style="padding: 5px;">$l_1 = \cdots i_k(l_1)j_{1+1}(l_j)j_{1+2} \cdots$ (1) $l_j = \cdots j_1(l_j)j_{1+1}(l_1)j_{1+2} \cdots$ (2) $l_u = u_1(l_u)u_2 \cdot \cdots \cdot u_v(l_u)u_1$ ($u \neq i, j$)</td></tr> </table>	W1	$\cdots j_{1+2}(l_j^{-1})j_{1+1}(A)i_{k+1}(l_1^{-1})i_k \cdots$ (1) $\cdots i_k(l_1)j_{1+2} \cdots$ (2) $\cdots i_{k+2}(l_1^{-1})j_{1+1}(l_j)j_1 \cdots$ (3) $\cdots j_1(l_j)j_{1+2} \cdots$ (4)	W2	r_k (W1 以外の words)	M	$k_1(m_k)k_2 \cdot \cdots \cdot k_u(m_k)k_1$ ($k=1, \dots, n-1$)	L	$l_1 = \cdots i_k(l_1)j_{1+1}(l_j)j_{1+2} \cdots$ (1) $l_j = \cdots j_1(l_j)j_{1+1}(l_1)j_{1+2} \cdots$ (2) $l_u = u_1(l_u)u_2 \cdot \cdots \cdot u_v(l_u)u_1$ ($u \neq i, j$)
W1	$\cdots j_{1+2}(l_j^{-1})j_{1+1}(A)i_{k+1}(l_1^{-1})i_k \cdots$ (1) $\cdots i_k(l_1)j_{1+2} \cdots$ (2) $\cdots i_{k+2}(l_1^{-1})j_{1+1}(l_j)j_1 \cdots$ (3) $\cdots j_1(l_j)j_{1+2} \cdots$ (4)								
W2	r_k (W1 以外の words)								
M	$k_1(m_k)k_2 \cdot \cdots \cdot k_u(m_k)k_1$ ($k=1, \dots, n-1$)								
L	$l_1 = \cdots i_k(l_1)j_{1+1}(l_j)j_{1+2} \cdots$ (1) $l_j = \cdots j_1(l_j)j_{1+1}(l_1)j_{1+2} \cdots$ (2) $l_u = u_1(l_u)u_2 \cdot \cdots \cdot u_v(l_u)u_1$ ($u \neq i, j$)								

HG4' =	<table border="1" style="width: 100%; border-collapse: collapse;"> <tr> <td style="padding: 5px;">W1'</td><td style="padding: 5px;">$\cdots j_{1+2}(l_j^{-1})j_{1+1}(A)i_{k+1}(l_1^{-1})i_k \cdots$ (1) $\cdots i_k(l_1)j_{1+2} \cdots$ (2) $\cdots i_{k+2}(l_1^{-1})j_{1+1}(l_j)j_1 \cdots$ (3) $\cdots j_1(l_j)j_{1+2} \cdots$ (4)</td></tr> <tr> <td style="padding: 5px;">W2</td><td style="padding: 5px;">r_k (W1' 以外の words)</td></tr> <tr> <td style="padding: 5px;">M'</td><td style="padding: 5px;">$k_1(m_k)k_2 \cdot \cdots \cdot k_u(m_k)k_1$ ($k=1, \dots, n-1$)</td></tr> <tr> <td style="padding: 5px;">L'</td><td style="padding: 5px;">$l_1' = \cdots i_k(l_1)j_{1+2} \cdots \cdots j_1(l_j)j_{1+1}(l_1)j_{k+2} \cdots$ (1') $l_u = u_1(l_u)u_2 \cdots \cdots u_v(l_u)u_1$ ($u \neq i$)</td></tr> </table>	W1'	$\cdots j_{1+2}(l_j^{-1})j_{1+1}(A)i_{k+1}(l_1^{-1})i_k \cdots$ (1) $\cdots i_k(l_1)j_{1+2} \cdots$ (2) $\cdots i_{k+2}(l_1^{-1})j_{1+1}(l_j)j_1 \cdots$ (3) $\cdots j_1(l_j)j_{1+2} \cdots$ (4)	W2	r_k (W1' 以外の words)	M'	$k_1(m_k)k_2 \cdot \cdots \cdot k_u(m_k)k_1$ ($k=1, \dots, n-1$)	L'	$l_1' = \cdots i_k(l_1)j_{1+2} \cdots \cdots j_1(l_j)j_{1+1}(l_1)j_{k+2} \cdots$ (1') $l_u = u_1(l_u)u_2 \cdots \cdots u_v(l_u)u_1$ ($u \neq i$)
W1'	$\cdots j_{1+2}(l_j^{-1})j_{1+1}(A)i_{k+1}(l_1^{-1})i_k \cdots$ (1) $\cdots i_k(l_1)j_{1+2} \cdots$ (2) $\cdots i_{k+2}(l_1^{-1})j_{1+1}(l_j)j_1 \cdots$ (3) $\cdots j_1(l_j)j_{1+2} \cdots$ (4)								
W2	r_k (W1' 以外の words)								
M'	$k_1(m_k)k_2 \cdot \cdots \cdot k_u(m_k)k_1$ ($k=1, \dots, n-1$)								
L'	$l_1' = \cdots i_k(l_1)j_{1+2} \cdots \cdots j_1(l_j)j_{1+1}(l_1)j_{k+2} \cdots$ (1') $l_u = u_1(l_u)u_2 \cdots \cdots u_v(l_u)u_1$ ($u \neq i$)								

定理5. HG4 \Leftrightarrow HG4' の labels の変換の algorithms が存在する.

証明略.

□

§ 3. $HG(m, l)$ からの基本群の表示

$(H_1; \partial D_1', \dots, \partial D_n') = (H_1; l_1, \dots, l_n)$ を $(H_1, H_2; F)$ の genus $n (\geq 1)$ Heegaard diagram とする。その $HG(m, l)$ は定義7の表示とし、連結とする。このとき Heegaard diagram は連結であるから、 $HG(m, l)$ の $\{j_1(l_j)j_2, \dots, j_1(l_j)j_1\}$ ($j=1, \dots, n$)の中から $n-1$ 個の edges を選んで、 H_1 の n 個の meridian disks $\{D_1, \dots, D_n\}$ が連結になるように結ぶことができる（選びかたは一通りではない）。これらの edges を L_1, \dots, L_{n-1} とする。

我々は edge を表す label $j_1(l_j)j_{1+1}$ を基本群の生成元の記号として併用する。

定理6. 連結可付向閉3-多様体 M^3 の genus $n (\geq 1)$ の Heegaard diagram を $(H_1; l_1, \dots, l_n)$ とする。その $HG(m, l)$ は H_1 の meridian disks $\{D_1, \dots, D_n\}$ に関して連結とする。このとき M^3 の基本群 $\pi_1(M^3)$ は、 $\{j_1(l_j)j_2, \dots, j_1(l_j)j_1\}$ ($j=1, \dots, n$)を生成元とする。関係式は、 $L_1=1, \dots, L_{n-1}=1$ および $HG(m, l)$ の各 2-disk の境界の edges $j_1(l_j)j_{1+1}$ を、 $i_j(m_1)i_{j+1}$ を省略して正の向き（または負の向き）に続けて読んだ語（word）（どこから読み始てもよい。 $j_1(l_j)j_{1+1}$ の向きと反対に読むときは $(j_1(l_j)j_{1+1})^{-1}$ or $j_{1+1}(l_j)^{-1}j_1$ と読む）と $j_1(l_j)j_2 \cdot \dots \cdot j_1(l_j)j_1=1$ ($j=1, \dots, n$) となる[6]。

定理6 の基本群の表示を

$$\pi_1(M^3) = \langle j_1(l_j)j_{1+1} \mid L_1=1, \dots, L_{n-1}=1, r_1=1, \dots, r_{\alpha 2}=1, j_1(l_j)j_2 \cdot \dots \cdot j_1(l_j)j_1=1 \rangle \quad (j=1, \dots, n)$$

と表す。ここで関係子 r_j は $HG(m, l)$ の 2-disk 上の edges $j_1(l_j)j_{1+1}$ だけを続けて読んだ語である…

定義9. 定理6 の基本群の表示を $HG(m, l)$ から得られる基本群の表示と呼ぶ。

$G(m, l)$ が非連結のとき、その $HG(m, l)$ から基本群の表示を求める方法がある[6]。しかし、非連結な $G(m, l)$ を初等DS-変形を使って連結な $G(m, l)$ に変形できるので、本稿では $G(m, l), HG(m, l)$ が連結なときのみを扱っている。

§ 4. 基本群の変換

$HG(m, l)$ は定義7の表示とする。 $HG(m, l)$ の文字列から $\{i_j(m_i) i_{j+1}\} (i=1, \dots, n)$ を取り除くと、各 r_k は文字 $i_j(l_1) i_{j+1}$ (or $i_{j+1}(l_1^{-1}) i_j$) だけの集まりとなるが、これを r_k で表す。そして H_1 の各 meridian disk D_1 を結ぶ edges を選んで $\{L_i\} (i=1, \dots, n-1)$ とすると、生成元が $\{i_j(l_1) i_{j+1}\}$ であり、 r_k, L_i を関係子とする基本群の表示が得られる。従って $HG(m, l)$ の変換から基本群 $\pi_1(M^3)$ の変換が得られる。すなわち

定理7. (主定理)

$$\text{Heegaard diagrams の変換} \left\{ \begin{array}{l} HG1 \Leftrightarrow HG1' \\ HG1 \Leftrightarrow HG1'' \\ HG2 \Leftrightarrow HG2' \\ HG3 \Leftrightarrow HG3' \\ HG4 \Leftrightarrow HG4' \end{array} \right. \quad \text{に対応する基本群の変換} \left\{ \begin{array}{l} \pi 1 \Leftrightarrow \pi 1' \\ \pi 1 \Leftrightarrow \pi 1'' \\ \pi 2 \Leftrightarrow \pi 2' \\ \pi 3 \Leftrightarrow \pi 3' \\ \pi 4 \Leftrightarrow \pi 4' \end{array} \right. \quad (\text{p.26} \sim 32.)$$

が存在する。

§ 5. 応用

Heegaard diagram $(H_1; m, l)$ の meridian, longitude 系から基本群の表示が得られる。 S^3 の genus 2 の Heegaard diagram では標準形以外は wave を持つ(HOT の定理)。このことにより、 S^3 の genus 2 の $(H_1; m, l)$ から表示される基本群は、関係式において相互代入可能である。 $G(m, l)$ から得られる基本群の表示に対しても、wave が存在するところで相互代入可能である。そして相互代入して得られた基本群の表示は、wave が存在するところで D_n -変形を行って得られる $G(m, l)$ から得られる基本群の表示になるのである。すなわち定理6の基本群の表示に対しても相互代入可能なのである。

§ 2 で与えた $HG(m, l)$ の変換の algorithms を実際の例に適用することは、非常にやっかいである。しかし、 $HG(m, l)$ の初等DS-変形に対応する 0-, 1-cells の labels の変換の § 2 の algorithms よりは簡単な algorithms が存在する[7]。この algorithms をまとめた内容は別の機会に譲ることとする。

(80)

$$i_j(l_1)i_{j+1}, i_{p+k}(B_k)j_{q+k}$$

$\pi_1 =$	$\gamma 1$	$\cdots(V_q)j_qj_{q+1}(B_1^{-1})i_{p+1}i_p(S_p^{-1})\cdots$	(1)
		$j_{q+2}(B_2^{-1})i_{p+2}\cdots$	(2)
		\vdots	
		$j_{q+1}(B_1^{-1})i_{p+1}i_{p+1-1}(B_{1-1})j_{q+1-1}\cdots$	(1)
		$\cdots(S_1)i_1i_{p+1}(B_1)j_{q+1}j_1(V_1^{-1})\cdots$	(1+1)
$\gamma 2$		$\cdots(S_2)i_2i_1(S_1^{-1})\cdots$	(1+2)
		\vdots	
		$\cdots(S_p)i_pi_{p-1}(S_{p-1}^{-1})\cdots$	(1+p)
	$\gamma 3$	$\cdots(T_p^{-1})i_pi_{p+1}(A_1^{-1})\cdots$	(1)
		$\cdots(A_1)i_{p+1}i_1(T_1)\cdots$	(2)
$\gamma 4$	γ_k ($\gamma 1 \sim \gamma 3$ 以外の関係子(式))		
	$L 1$	$i_{r1} = \cdots(A_1)i_{p+1}(B_1)j_{q+1}(C_1)\cdots$	(1)
		\vdots	
	$i_{r1} =$	$\cdots(A_1)i_{p+1}(B_1)j_{q+1}(C_1)\cdots$	(1)
	$L 2$	$i_{s1} = \cdots(V_1)j_1(W_1)\cdots$	(1)
$L 3$		\vdots	
	$i_{sq} =$	$\cdots(V_q)j_q(W_q)\cdots$	(q)
	$i_{t1} =$	$\cdots(S_1)i_1(T_1)\cdots$	(1)
		\vdots	
	$i_{tp} =$	$\cdots(S_p)i_p(T_p)\cdots$	(p)
$L 4$	$L_u = u_1(L_u)u_2 \cdot \cdots \cdot u_v(L_u)u_1$ ($L_1 \sim L_3, L_5$ 以外の関係子(式))		
	$L 5$	$L_1, \dots, L_i = S_1, L_j = B_j, \dots, L_{n-1}$	

$$i_j(l_1)i_{j+1}, j_{q+p+1-k}'(E_k)i_k$$

$\pi 1' =$	$r 1'$	$\cdots(V_q)j_qj_{q+1}'(S_p^{-1})\cdots$	(1)
		$\cdots(S_1)j_{q+p}'j_1(V_1^{-1})\cdots$	(1+1)
		$\cdots(S_2)j_{q+p-1}'j_{q+p}(S_1^{-1})\cdots$	(1+2)
		\vdots	
		$\cdots(S_p)j_{q+1}'j_{q+2}(S_{p-1}^{-1})\cdots$	(1+p)
$\pi 2$	$r 2$	$\cdots(T_p^{-1})i_p i_{p+1}(A_1^{-1})\cdots$	(1)
		$\cdots(A_1)i_{p+1}i_1(T_1)\cdots$	(2)
$\pi 3' =$	$r 3'$	$\cdots(C_1^{-1})i_{p+1}i_p(E_p^{-1})j_{q+1}'j_q(W_q)\cdots$	(1)
		$\cdots(C_2^{-1})i_{p+2}i_{p+1}(C_1)\cdots$	(2)
		\vdots	
		$\cdots(C_1^{-1})i_{p+1}i_{p+1-1}(C_{1-1})\cdots$	(1)
		$j_{q+1}'(E_p)i_p i_{p-1}(E_{p-1}^{-1})j_{q+2}\cdots$	(1+2)
$\pi 4$	r_k ($r 1', r 2, r 3'$ 以外の関係子(式))		
$L 1' \quad l_{r_1}' =$	$\cdots(A_1)i_{p+1}(C_1)\cdots$	(1)	
	\vdots		
$L 2 \quad l_{s_1} =$	$\cdots(V_1)j_1(W_1)\cdots$	(1)	
	\vdots		
$L 3' \quad l_{t_1}' =$	$\cdots(S_1)j_{q+p}'(E_1)i_1(T_1)\cdots$	(1)	
	\vdots		
$L 4 \quad l_u = u_1(l_u)u_2 \cdot \cdots \cdot u_v(l_u)u_1$ ($L 1', L 2, L 3', L 5$ 以外の関係子(式))	$\cdots(S_p)j_{q+1}'(E_p)i_p(T_p)\cdots$	(p)	
$L 5 \quad l_1, \dots, l_i = S_1, l_j = E_j, \dots, l_{n-1}$			

(82)

$$i_j(l_1)i_{j+1},1(A)2,2(A)3,3(A)1$$

$\pi l'' =$

$r 1''$	$\cdots(V_q)j_q2(A^{-1})1i_p(S_p^{-1})\cdots$ $\cdots(S_1)i_11(A)2j_1(V_1^{-1})\cdots$ $\cdots(S_2)i_2i_1(S_1^{-1})\cdots$ \vdots $\cdots(S_p)i_pi_{p-1}(S_{p-1}^{-1})\cdots$	(1) (1+1) (1+2) (1+p)
$r 2''$	$\cdots(T_p^{-1})i_p1(A^{-1})3i_{p+1}(A_1^{-1})\cdots$ $\cdots(A_1)i_{p+1}3(A)1i_1(T_1)\cdots$	(1) (1+1)
$r 3''$	$\cdots(C_1^{-1})i_{p+1}3(A^{-1})2j_q(W_q)\cdots$ $\cdots(C_2^{-1})i_{p+2}i_{p+1}(C_1)\cdots$ \vdots $\cdots(C_{l-1}^{-1})i_{p+1}i_{p+1-l}(C_{l-1})\cdots$ $\cdots(W_1^{-1})j_2(A)3i_{p+1}(C_1)\cdots$	(1) (2) (1) (1+1)
$r 4$	$r_k (r1'' \sim r3'' \text{ 以外の関係子(式)})$	

$L 1''$	$ _{r1''} = \cdots(A_1)i_{p+1}(C_1)\cdots$ \vdots $ _{r1''} = \cdots(A_1)i_{p+1}(C_1)\cdots$	(1) (1)
$L 2$	$ _{s1} = \cdots(V_1)j_1(W_1)\cdots$ \vdots $ _{sq} = \cdots(V_q)j_q(W_q)\cdots$	(1) (q)
$L 3$	$ _{t1} = \cdots(S_1)i_1(T_1)\cdots$ \vdots $ _{tp} = \cdots(S_p)i_p(T_p)\cdots$	(1) (p)
$L 4''$	$ _u = u_1(_u)u_2 \cdot \dots \cdot u_v(_u)u_1 \quad (L1'', L2, L3, L5 \text{ 以外の関係子(式)})$ $1(A)2(A)3(A)1$	
$L 5$	$L_1, \dots, L_1 = S_1, L_2 = 1(A)2, \dots, L_{n-1}, 2(A)3$	

$i_j(i_1)i_{j+1}$

$r 1$	$\left\{ \begin{array}{l} \cdots(V_{21+p+q})2l+p+q1(B_1^{-1})l+p+1l+p(S_{1+p})\cdots \\ 2(B_2^{-1})l+p+2l+p+1(B_1)l \\ \vdots \\ l(B_1^{-1})2l+p2l+p-1(B_{1-1})l-1 \\ \cdots(S_{21+p+1}^{-1})2l+p+12l+p(B_1)l+l1(V_{1+1}^{-1})\cdots \end{array} \right. \begin{array}{l} (1) \\ (2) \\ \vdots \\ (1) \\ (l+1) \end{array} \right\}$
$r 2$	$\left\{ \begin{array}{l} \cdots(S_{21+p+2}^{-1})2l+p+22l+p+1(S_{21+p+1})\cdots \\ \vdots \\ \cdots(S_{21+p+q-1}^{-1})2l+p+q2l+p+q-1(S_{21+p+q-1})\cdots \\ \cdots(S_1^{-1})12l+p+q(S_{21+p+q})\cdots \\ \cdots(S_2^{-1})2l(S_1)\cdots \\ \vdots \\ \cdots(S_1^{-1})l1-1(S_{1-1})\cdots \\ \cdots(S_{1+1}^{-1})l+1l(S_1)\cdots \\ \cdots(S_{1+2}^{-1})l+2l+1(S_{1+1})\cdots \\ \vdots \\ \cdots(S_{1+p}^{-1})l+p1+p-1(S_{1+p-1})\cdots \end{array} \right. \begin{array}{l} (1) \\ \vdots \\ (q-1) \\ (q) \\ (q+1) \\ \vdots \\ (q+1-1) \\ (q+1) \\ (q+1+1) \\ \vdots \\ (q+1+p-1) \end{array} \right\}$
$\pi 2 =$	$\left\{ \begin{array}{l} \cdots(V_{1+1})l+1l+2(V_{1+2}^{-1})\cdots \\ \vdots \\ \cdots(V_{1+p-1})l+p-1l+p(V_{1+p}^{-1})\cdots \\ \cdots(V_{1+p})l+p1+p+1(V_{1+p+1}^{-1})\cdots \\ \cdots(V_{1+p+1})l+p+1l+p+2(V_{1+p+2}^{-1})\cdots \\ \vdots \\ \cdots(V_{21+p-1})2l+p-12l+p(V_{21+p}^{-1})\cdots \\ \cdots(V_{21+p})2l+p2l+p+1(V_{21+p+1}^{-1})\cdots \\ \cdots(V_{21+p+1})2l+p+12l+p+2(V_{21+p+2}^{-1})\cdots \\ \vdots \\ \cdots(V_{21+p+q-1})2l+p+q-12l+p+q(V_{21+p+q}^{-1})\cdots \end{array} \right. \begin{array}{l} (1) \\ \vdots \\ (p-1) \\ (p) \\ (p+1) \\ \vdots \\ (p+1-1) \\ (p+1) \\ (p+1+1) \\ \vdots \\ (p+1+q-1) \end{array} \right\}$

 $r 4 \quad r_k \quad (r 1 \sim r 3 \text{ 以外の関係子(式)})$

$$L 1 \left\{ \begin{array}{l} l_{r1} = \cdots(V_{1+1})l+1(S_{1+1})\cdots \quad (l+1) \\ \vdots \\ l_{rp} = \cdots(V_{1+p})l+p(S_{1+p})\cdots \quad (l+p) \end{array} \right\} \left\{ \begin{array}{l} l_{rp+1} = \cdots(V_{1+p+1})l+p+1(B_1)l(S_1)\cdots \quad (1) \\ \vdots \\ l_{rp+1+i} = \cdots(V_{21+p+i})2l+p(B_1)l(S_1)\cdots \quad (1) \\ \vdots \\ l_{rp+1+q} = \cdots(V_{21+p+q})2l+p+q(S_{21+p+q})\cdots \quad (l+p+q) \end{array} \right\}$$

 $L 2 \quad l_u = u_1(l_u)u_2 \cdot \cdots \cdot u_v(l_u)u_1 \quad (L1, L3 \text{ 以外の関係子(式)})$ $L 3 \quad L_1, \dots, L_{n-1}$

(84)

 $i_j(i_1)i_{j+1}, 1(A)2, 2(A)3, 3(A)1$

$\gamma 1'$	$\cdots(V_{21+p+q})2l+p+q3(A^{-1})2l+p(S_{1+p})\cdots$ $\cdots(S_{21+p+1}^{-1})2l+p+12(A)3l+1(V_{1+1}^{-1})\cdots$	(1) (1+1)
$\gamma 2'$	$\left\{ \begin{array}{l} \cdots(S_{21+p+2}^{-1})2l+p+22l+p+1(S_{21+p+1})\cdots \\ \vdots \\ \cdots(S_{21+p+q-1}^{-1})2l+p+q2l+p+q-1(S_{21+p+q-1})\cdots \\ \cdots(S_1^{-1})l+p+11(A^{-1})32l+p+q(S_{21+p+q})\cdots \\ \cdots(S_2^{-1})l+p+2l+p+1(S_1)\cdots \\ \vdots \\ \cdots(S_1^{-1})2l+p2l+p-1(S_{1-1})\cdots \\ \cdots(S_{1+1}^{-1})l+13(A)12l+p(S_1)\cdots \\ \cdots(S_{1+2}^{-1})l+2l+1(S_{1+1})\cdots \\ \vdots \\ \cdots(S_{1+p}^{-1})l+p1+p-1(S_{1+p-1})\cdots \end{array} \right\}$	(1) (q-1) (q) (q+1) (q+l-1) (q+l) (q+l+1) (q+l+p-1)
$\pi 2' =$	$\left\{ \begin{array}{l} \cdots(V_{1+1})l+1l+2(V_{1+2}^{-1})\cdots \\ \vdots \\ \cdots(V_{1+p-1})l+p-1l+p(V_{1+p}^{-1})\cdots \\ \cdots(V_{1+p})l+p2(A^{-1})l+p+1(V_{1+p+1}^{-1})\cdots \\ \cdots(V_{1+p+1})l+p+1l+p+2(V_{1+p+2}^{-1})\cdots \\ \vdots \\ \cdots(V_{21+p-1})2l+p-12l+p(V_{21+p}^{-1})\cdots \\ \cdots(V_{21+p})2l+p1(A)22l+p+1(V_{21+p+1}^{-1})\cdots \\ \cdots(V_{21+p+1})2l+p+12l+p+2(V_{21+p+2}^{-1})\cdots \\ \vdots \\ \cdots(V_{21+p+q-1})2l+p+q-12l+p+q(V_{21+p+q}^{-1})\cdots \end{array} \right\}$	(1) (p-1) (p) (p+1) (p+l-1) (p+l) (p+l+1) (p+l+q-1)
$\gamma 4$	$r_k (\gamma 1' \sim \gamma 3' \text{ 以外の関係子(式)})$	
$L 1'$	$\left\{ \begin{array}{l} l_{r1} = \cdots(V_{1+1})l+1(S_{1+1})\cdots \quad (1+1) \\ \vdots \\ l_{rp} = \cdots(V_{1+p})l+p(S_{1+p})\cdots \quad (1+p) \end{array} \right\} \quad \left\{ \begin{array}{l} l_{rp+1} = \cdots(V_{1+p+1})l+p+1(S_1)\cdots \quad (1) \\ \vdots \\ l_{rp+1+1} = \cdots(V_{21+p+1})2l+p+1(S_{21+p+1})\cdots \quad (1+p+1) \\ \vdots \\ l_{rp+1+q} = \cdots(V_{21+p+q})2l+p+q(S_{21+p+q})\cdots \quad (1+p+q) \end{array} \right\}$	(1) (1) (1+p+1) (1+p+q)
$L 2'$	$l_u = u_1(l_u)u_2 \cdot \cdots \cdot u_v(l_u)u_1 \quad (L1', L3' \text{ 以外の関係子(式)})$ $1(A)2(A)3(A)1$	
$L 3'$	$L_1, \dots, L_{n-1}, 1(A)2$	

$i_j(l_1) i_{j+1}, l(Y)l$					
$\pi 3 =$	<table border="1"> <tr> <td>$r 1$</td><td> $\cdots(B_1^{-1})l_1(Y^{-1})l_1(A_1^{-1})\cdots$ (1) $\cdots(A_{1-1})l_1l_1(Y)l_1l_1(B_{1-1})\cdots$ (2) $\cdots(A_1)l_2(A_2^{-1})\cdots$ (3) \vdots $\cdots(A_{1-2})l_2l_1(A_{1-1}^{-1})\cdots$ (1) $\cdots(B_2^{-1})l_2l_1(B_1)\cdots$ (1+1) \vdots $\cdots(B_{1-1}^{-1})l_2l_1l_2(B_{1-2})\cdots$ (21-2) </td></tr> <tr> <td>$r 2$</td><td>r_k (r_1 以外の関係子(式))</td></tr> </table>	$r 1$	$\cdots(B_1^{-1})l_1(Y^{-1})l_1(A_1^{-1})\cdots$ (1) $\cdots(A_{1-1})l_1l_1(Y)l_1l_1(B_{1-1})\cdots$ (2) $\cdots(A_1)l_2(A_2^{-1})\cdots$ (3) \vdots $\cdots(A_{1-2})l_2l_1(A_{1-1}^{-1})\cdots$ (1) $\cdots(B_2^{-1})l_2l_1(B_1)\cdots$ (1+1) \vdots $\cdots(B_{1-1}^{-1})l_2l_1l_2(B_{1-2})\cdots$ (21-2)	$r 2$	r_k (r_1 以外の関係子(式))
$r 1$	$\cdots(B_1^{-1})l_1(Y^{-1})l_1(A_1^{-1})\cdots$ (1) $\cdots(A_{1-1})l_1l_1(Y)l_1l_1(B_{1-1})\cdots$ (2) $\cdots(A_1)l_2(A_2^{-1})\cdots$ (3) \vdots $\cdots(A_{1-2})l_2l_1(A_{1-1}^{-1})\cdots$ (1) $\cdots(B_2^{-1})l_2l_1(B_1)\cdots$ (1+1) \vdots $\cdots(B_{1-1}^{-1})l_2l_1l_2(B_{1-2})\cdots$ (21-2)				
$r 2$	r_k (r_1 以外の関係子(式))				

| L | | | | |---|--| | $l_{r1} =$ | $\cdots(A_1)l_1(B_1)\cdots$ (1)
\vdots | | $l_{r1-1} =$ | $\cdots(A_{1-1})l_1l_1(B_{1-1})\cdots$ (1-1)
\vdots | | $ Y $ | (1) | | $ u=u_1(l_u)u_2 \cdot \cdots \cdot u_v(l_u)u_1$ | ((1)～(1) 以外の関係子) | |
| $L 2$ | L_1, \dots, L_{n-2}, A_1 |

$i_j(l_1) i_{j+1}, k_j(A_k B_k) k_{j+1}$					
$\pi 3' =$	<table border="1"> <tr> <td>$r 1'$</td><td> $\cdots(B_1^{-1}A_1^{-1})\cdots$ (1) $\cdots(A_{1-1}B_{1-1})\cdots$ (2) $\cdots(A_1B_1)\cdots(B_2^{-1}A_2^{-1})\cdots$ (3) \vdots $\cdots(A_{1-2}B_{1-2})\cdots(B_{1-1}^{-1}A_{1-1}^{-1})\cdots$ (1) </td></tr> <tr> <td>$r 2$</td><td>r_k (r_1' 以外の関係子(式))</td></tr> </table>	$r 1'$	$\cdots(B_1^{-1}A_1^{-1})\cdots$ (1) $\cdots(A_{1-1}B_{1-1})\cdots$ (2) $\cdots(A_1B_1)\cdots(B_2^{-1}A_2^{-1})\cdots$ (3) \vdots $\cdots(A_{1-2}B_{1-2})\cdots(B_{1-1}^{-1}A_{1-1}^{-1})\cdots$ (1)	$r 2$	r_k (r_1' 以外の関係子(式))
$r 1'$	$\cdots(B_1^{-1}A_1^{-1})\cdots$ (1) $\cdots(A_{1-1}B_{1-1})\cdots$ (2) $\cdots(A_1B_1)\cdots(B_2^{-1}A_2^{-1})\cdots$ (3) \vdots $\cdots(A_{1-2}B_{1-2})\cdots(B_{1-1}^{-1}A_{1-1}^{-1})\cdots$ (1)				
$r 2$	r_k (r_1' 以外の関係子(式))				

| L' | | | | |---|--| | $l_{r1}' =$ | $\cdots(A_1B_1)\cdots$ (1)
\vdots | | $l_{r1-1}' =$ | $\cdots(A_{1-1}B_{1-1})\cdots$ (1-1)
\vdots | | $ u=u_1(l_u)u_2 \cdot \cdots \cdot u_v(l_u)u_1$ | ((1)～(1-1) 以外の関係子) | |
| $L 2$ | L_1, \dots, L_{n-2} |

(86)

$i_j(l_1) i_{j+1}$		
$\pi^4 =$	$r 1$	$\cdots j_{1+2}(l_j^{-1}) j_{1+1} i_{k+1}(l_1^{-1}) i_k \cdots \quad (1)$
		$\cdots i_k(l_1) i_{k+1} j_{1+1}(l_j) j_{1+2} \cdots \quad (2)$
		$\cdots i_{k+2}(l_1^{-1}) i_{k+1} j_{1+1}(l_j^{-1}) j_1 \cdots \quad (3)$
		$\cdots j_1(l_j) j_{1+1} i_{k+1}(l_1) i_{k+2} \cdots \quad (4)$
	$r 2$	$r_k (r_1 \text{ 以外の関係子(式)})$
	L	$i_1 = \cdots i_k(l_1) i_{k+1}(l_1) i_{k+2} \cdots \quad (1)$
		$i_j = \cdots j_1(l_j) j_{1+1}(l_j) j_{1+2} \cdots \quad (2)$
		$i_u = u_1(l_u) u_2 \cdot \cdots \cdot u_v(l_u) u_1 \quad (u \neq i, j)$
	$L 2$	$L_1, \dots, L_{n-2}, i_k(l_1) i_{k+1}$

$i_j(l_1) i_{j+1}$		
$\pi^{4'} =$	$r 1'$	$\cdots j_{1+2}(l_j^{-1} l_1^{-1}) i_k \cdots \quad (1)$
		$\cdots i_k(l_1 l_j) j_{1+2} \cdots \quad (2)$
		$\cdots i_{k+2}(l_1^{-1} l_j^{-1}) j_1 \cdots \quad (3)$
		$\cdots j_1(l_j l_1) i_{k+2} \cdots \quad (4)$
	$r 2$	$r_k (r_1' \text{ 以外の関係子(式)})$
	L'	$i_1' = \cdots \cdot i_k(l_1 l_j) j_{1+2} \cdot \cdots \cdot j_1(l_j l_1) i_{k+2} \cdot \cdots \quad (1')$
		$i_u = u_1(l_u) u_2 \cdot \cdots \cdot u_v(l_u) u_1 \quad (u \neq i)$
	$L 2$	L_1, \dots, L_{n-2}

References

- [1] H. Seifert & W. Threlfall : A Textbook of Topology. Translated by M.A. Goldman, Academic Press, Inc. 1980
- [2] M. Yamashita : DS-diagram and Heegaard diagram (In Japanese), Reports on a meeting at R.I.M.S. Kyoto Univ., No. 636, 1985, 28-41.
- [3] _____ : On elementary DS-deformations (In Japanese), Bulletin of Hakone Seminar, "Low Dimensional PL Topology", 1986, 13-34.
- [4] H. Ikeda & M. Yamashita & K. Yokoyama : Deformations of DS-diagrams, Topology and Computer Science(1987) edited by S. Suzuki, 81-138., Kinokuniya Company Ltd. Tokyo
- [5] S. Horiguchi : Transformations of Heegaard diagrams (In Japanese), Bulletin of Hakone Seminar, "Low Dimensional PL Topology", 1990, 63-109.
- [6] _____ : A new presentation of the fundamental group associated with the Heegaard diagram, Bulletin of Niigata Sangyo Univ., No. 7, 1992, 137-177.
- [7] _____ : Reductions of Heegaard diagrams of S^3 without waves and its fundamental groups, Bulletin of Niigata Sangyo Univ., No. 8, 1992, 157-219.
- [8] T. Kaneto : On presentations of the fundamental group of the 3-sphere associated with Heegaard diagrams, J. Math. Soc. Japan, vol. 33, No. 1, 1981, 147-158.
- [9] T. Homma & M. Ochiai & M. Takahashi : An algorithm for recognizing S^3 in 3-manifolds with Heegaard splittings of genus two, Osaka J. Math. 17, 1980, 625-648.
- [10] Hempel, J. : 3-manifolds, Ann. of Math. Studies 86, Princeton Univ. Press.(1976)